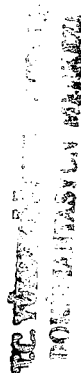


**İSTANBUL TEKNİK ÜNİVERSİTESİ ★ FEN BİLİMLERİ ENSTİTÜSÜ**



**EGZOS EMİŞ AĞZI ETRAFINDAKİ AKIŞIN  
SAYISAL HESABI**

**YÜKSEK LİSANS TEZİ  
Müh. B. Murat MESTANI  
(508970004011)**

*100946*

**100946**

**Tezin Enstitüye Verildiği Tarih : 7 Haziran 2000  
Tezin Savunulduğu Tarih : 20 Haziran 2000**

**Tez Danışmanı : Doç.Dr. Selma ERGİN**

*Selma Ergin*

**Diger Juri Üyeleri : Prof.Dr. O. Azmi ÖZSOYSAL**

*O. Azmi Ozsoysal*

**Doç.Dr. Muhittin SÖYLEMEZ**

*Muhittin Söylemez*

**HAZİRAN 2000**

## ÖNSÖZ

Bu çalışmada dikdörtgen ve flansız bir egzos ağızı etrafındaki akış nümerik olarak hesaplanmıştır. Çalışmanın özellikle endüstri ve gemi sektöründe kullanılan egzos ağızlarının emiş yeterliliklerinin hesaplanması yönünde faydalı olacağı kanısındayım.

Çalışmalarım süresince bana değerli bilgileriyle katkıda bulunan, sayın hocam Doç.Dr.Selma Ergin'e, teşekkürü bir borç bilirim.

Ayrıca hiçbir konuda yardımlarını esirgemeyen sevgili arkadaşlarım Arş.Gör.D.Bülent Danışman ve U. Oral Ünal'a ve son olarak, tez çalışmam boyunca manevi desteğini bir an olsun eksik etmeyen sevgili eşim Bahar Zeytin'e teşekkürlerimi sunarım.

Haziran 2000

B.Murat MESTANİ

## **İÇİNDEKİLER**

<b>TABLO LİSTESİ</b>	<b>v</b>
<b>ŞEKİL LİSTESİ</b>	<b>vi</b>
<b>ŞEMBOL LİSTESİ</b>	<b>vii</b>
<b>ÖZET</b>	<b>viii</b>
<b>SUMMARY</b>	<b>ix</b>
<b>1. GİRİŞ</b>	<b>1</b>
1.1 Yapılan Çalışma ve Önemi	1
1.2 Önceki Çalışmalar	2
<b>2. YEREL EGZOS SİSTEMLERİ</b>	<b>6</b>
2.1 Giriş	6
2.2 Yerel Egzos Sistemlerinin Sınıflandırılması	6
2.2.1 Yapısına göre egzos sistemleri	6
2.2.2 Hava akışının yönüne göre	7
2.2.3 Hava akışının boyutuna göre egzos sistemleri	8
2.2.4 Hava akış yönü ile ezos ağızının bulunduğu yön arasındaki ilişkiye göre egzos sistemleri	9
2.2.5 Hava akışının doğasına göre egzos sistemleri	9
2.3 İşlevlerine Göre Egzos Ağızı Tipleri	10
2.3.1 Kapalı egzos ağızları	10
2.3.2 Alıcı egzos ağızları	10
2.3.3 Yakalayıcı egzos ağızları	11
<b>3. MATEMATİK MODEL</b>	<b>16</b>
3.1 Giriş	16
3.2 Yönetici Denklemler	16
3.3 Tûrbülans Modeli	20
3.3.1 $k-\varepsilon$ tûrbülans modeli	24
3.4 Logaritmik Duvar Fonksiyonları	26
3.4.1 Hız dağılımı	27
3.4.2 $k$ ve $\varepsilon$ dağılımı	27
3.5 Çözüm Yöntemi	28
3.5.1 Ağ	28
3.5.2 Denklemelerin Ayrıklaştırılması	28
3.5.3 Basınç ile hız arasındaki ilişki	31
3.6 Sınır Şartları	32
3.6.1 Hız	33
3.6.2 Tûrbülans kinetik enerji	33

3.6.3	Turbülans kinetik enerjinin yayınımı	34
3.7	Cebrik Denklem Sisteminin Çözümü (TDMA)	34
3.8	Bilgisayar programı	35
3.9	Hesaplama ile İlgili Detaylar	35
3.9.1	Hesaplama alanı ve eksen sistemi	35
3.9.2	Kullanılan ağ	35
3.9.3	Yakınsaklılık kriteri	36
3.9.4	Under-Relaxation faktörleri	36
<b>4.</b>	<b>SONUÇLAR VE TARTIŞMA</b>	<b>37</b>
4.1	Giriş	37
4.2	Hız Alanları	37
4.3	Turbülans Dağılımı	43
4.4	Akim Çizgileri	49
4.5	Karşılaştırmalar	54
4.6	Tartışma ve Gelecek Çalışmalar İçin Öneriler	55
<b>KAYNAKLAR</b>	<b>57</b>	
<b>ÖZGEÇMİŞ</b>	<b>60</b>	

## TABLO LİSTESİ

	<u>Sayfa No</u>
<b>Tablo 3.1.</b> Denklemlerdeki değişkenler,yayınım katsayıları ve kaynak terimler .....	25

## **ŞEKİL LİSTESİ**

	<b>Sayfa No</b>
<b>Şekil 2.1</b> : Kapalı ve açık egzos ağızları .....	7
<b>Şekil 2.2</b> : Yukarı doğru akışlı egzos ağızı .....	7
<b>Şekil 2.3</b> : Yanal akışlı egzos ağızı .....	7
<b>Şekil 2.4</b> : Aşağı doğru akışlı egzos ağızı .....	8
<b>Şekil 2.5</b> : Diagonal akışlı egzos ağızı .....	8
<b>Şekil 2.6</b> : İki ve üç boyutlu akışın görüldüğü egzos sistemleri .....	9
<b>Şekil 2.7</b> : Direkt ve dolaylı gaz yakalayan egzos sistemleri .....	9
<b>Şekil 2.8</b> : Çekme ve itme-çekme şeklinde çalışan egzos sistemleri .....	10
<b>Şekil 2.9</b> : Kapalı egzos ağızı .....	10
<b>Şekil 2.10</b> : Alıcı egzos ağızı .....	11
<b>Şekil 2.11</b> : Yakalayıcı egzos ağızı .....	11
<b>Şekil 2.12</b> : Değişik egzos ağızları .....	12
<b>Şekil 2.13</b> : Dairesel ve slot kesitli profillerin hız alanları .....	12
<b>Şekil 2.14</b> : Flanşlı ve flansız egzos ağızlarının yakalama alanları .....	13
<b>Şekil 2.15</b> : Konik ağız .....	13
<b>Şekil 2.16</b> : Dar aralıklı kanallardan oluşan egzos ağızı .....	14
<b>Şekil 2.17</b> : Çoklu slot şeklindeki egzos ağızı .....	14
<b>Şekil 3.1</b> : Kontrol hacminde sürekli ifadesi .....	16
<b>Şekil 3.2</b> : Kontrol hacminde momentumun korunumu .....	18
<b>Şekil 3.3</b> : Hesaplama alanı ve eksen sistemi .....	35
<b>Şekil 4.1</b> : Değişik x-y düzlemlerinde hız alanları .....	38
<b>Şekil 4.2</b> : Değişik x-z düzlemlerinde hız alanları .....	41
<b>Şekil 4.3</b> : Değişik x-y düzlemlerinde türbülans dağılımı .....	44
<b>Şekil 4.4</b> : Değişik x-z düzlemlerinde türbülans dağılımı .....	47
<b>Şekil 4.5</b> : Değişik x-y düzlemlerinde akım çizgileri .....	49
<b>Şekil 4.6</b> : Değişik x-z düzlemlerinde akım çizgileri .....	52
<b>Şekil 4.7</b> : Orta eksen için hız alanlarının karşılaştırılması .....	55

## SEMBOL LİSTESİ

$\bar{\rho}$	: Zaman ortalamalı yoğunluk
$\bar{U}$	: Hız vektörü
$\bar{u}_t$	: Zaman ortalamalı hız
$u_i$	: Türbülanslı hız
$A$	: Alan
$t$	: Zaman
$V$	: Hacim
$u_x$	: x yönündeki hız bileşeni
$v_y$	: y yönündeki hız bileşeni
$w_z$	: z yönündeki hız bileşeni
$S$	: Yüzey
$n$	: Yüzey normal vektörü
$f$	: Birim kütleye etkiyen bünye kuvveti
$P$	: Birim alana etkiyen yüzey kuvveti
$\bar{p}$	: Zaman ortalamalı basınc
$p'$	: Türbülans basıncı
$\sigma$	: Gerilme bileşeni
$\mu$	: Dinamik Viskozite
$\nu$	: Kinematik viskozite
$k$	: Türbülans kinetik enerji
$\varepsilon$	: Türbülans kinetik enerjisi yayınım oranı
$\tau$	: Kayma gerilmesi
$L$	: Uzunluk skalası
$\sigma_k$	: Türbülans Prandtl sayısı
$q$	: Alt grid ölçük alanında hız
$\Delta$	: Alt griddeki en büyük girdap
$Q$	: Hareketli girdapların hız skalası
$S_\phi$	: Kaynak terimi

## **EGZOS EMIŞ AĞZI ETRAFINDAKİ AKIŞIN SAYISAL HESABI**

### **ÖZET**

Bu çalışmada flanssız dikdörtgen kesitli bir egzos emiş ağızı etrafındaki üç boyutlu ve türbülanslı akış sayısal olarak modellenmiştir. Egzos ağızı simetrik olduğundan ağızin dörte birlik bir kısmı için hesaplama yapılmıştır. Ağzinin sac kalınlığı 10 mm ve genişlik/boy oranı ( $b/a$ ) 0.5'tir. Emişin durgun ortamdan yapıldığı kabul edilmiş, akış üç boyutlu ve türbülanslı, akışkan ise sıkıştırılamaz olarak modellenmiştir. Türbülans modeli olarak k-e türbülans modeli kullanılmıştır. Elde edilen denklemler sonlu hacim metodu kullanılarak çözülmüştür. Hesaplama alanı sıklığı değişen ağ aralıklarına bölünmüştür, hız ve diğer değişkenlerin büyük farklılıklar göstermediği ağ büyülüğu deneme-yanılma yöntemiyle belirlenmiştir. Kullanılan ağ büyülüğu  $x$ ,  $y$  ve  $z$  yönlerinde sırasıyla  $57 \times 21 \times 25'$  tir. Ağ sıklığı hızın ve diğer değişkenlerin büyük değişiklikler gösterdiği noktalarda fazla, diğer noktalarda buna bağlı olarak azalmaktadır. Egzos kanalının çıkışında eksenel hız  $8.5 \text{ m/sn}$  olarak alınmış diğer iki hız bileşeni sıfır ve diğer değişkenlerin türevleri sıfır alınmıştır. Serbest akım sınırlarında sabit basınç sınır şartı kullanılmıştır. Bu sınırlarda türbülans kinetik enerji sıfırdır. Basınç Simplest algoritması kullanılarak hesaplanmıştır. Ağzin etrafındaki hesaplama alanı ağızdaki akışa etkisi olmayacak şekilde  $y$  ve  $z$  yönlerinde  $6a$ ,  $x$  yönünde  $12a$  olarak alınmıştır.

Yapılan hesaplama sonucunda egzos emiş ağızı etrafındaki hız ve türbülans alanları bulunmuş, elde edilen sonuçlar değişik  $z$  ve  $y$  düzlemlerinde sunulmuştur. Bundan başka akım çizgileri de aynı düzlemlerde sunulmuş ve tartışılmıştır.

Hesaplanan değerler literatürde mevcut deney sonuçlarıyla karşılaştırılmış ve sonuçların deneylerle iyi bir uyum içinde olduğu görülmüştür.

## **NUMERICAL SIMULATION OF THE FLOW FIELD AROUND THE SUCTION HOOD**

### **SUMMARY**

The aim of this study is to calculate the velocity field of the three dimensional turbulent flow around the rectangular and unflanged suction hood. The flow field was assumed to be symmetrical with respect to the x-y and x-z planes, and thus only a quarter of the flow field was calculated. The thickness of the exhaust duct is 10 mm and the aspect ratio ( $b/a$ : width to length ratio) of the hood is 0.5 which is drawing air from still environment. The flow is three dimensional and incompressible.  $k-\epsilon$  turbulence model were used to model turbulent flow. The algebraic equations were solved with finite volume method. A non-uniform grid was employed. The effect of the grid size on the accuracy of the simulations was studied by calculating the air flow field with different grid densities. The best resolution were obtained with  $57 \times 25 \times 21$  nodes. The density of the grid changes depending on the variation of the pressure and velocity around the hood. The size of the calculation domain is determined in a way to avoid to effect the suction around the hood and so it was taken  $12a$  in x and  $6a$  in y and z direction. The exit velocity is 8.5 m/sec and a fixed pressure at the free-stream boundaries. At the symmetry planes the normal velocity component and the normal derivatives of all other variables were zero. The fixed pressure boundary condition was used, and pressure and turbulence kinetic energy were set to zero at these boundaries. Simplest algorithm were employed during the calculations.

Velocity and turbulent flow fields were obtained around the hood and results were presented in different z and y planes. Stream traces were also presented and discussed.

The accuracy of the mathematical model were compared with experimental studies in the literature and it was found to be satisfactory.

# **1. GİRİŞ**

## **1.1 Yapılan Çalışma ve Önemi**

Kapalı alanlarda oluşan zehirli gazların hızlı bir şekilde dışarı atılması ve çalışanların bundan en az şekilde etkilenmesi için yerel egzos sistemlerinin kullanılması, günümüzde artık endüstriyel alanlarda ve gemilerde zorunluluk halini almıştır.

Yerel egzos sistemlerinin iki temel amacı vardır:

- a) Çalışanların zehirli gaz karışımlarını solunum yoluyla almalarına engel olmak
- b) Zararlı gazların, ortama yayılmadan en kısa sürede toplanması veya yakalanmasını sağlamak

Endüstriyel egzos sistemleri yerel havalandırma sistemleri olup, özellikle toz, duman, sis, elyaf gibi tanecikli kirleticilerin ortamdan uzaklaştırılmaları için kullanılırlar. Gemilerde kullanılan sistemlerin amacı ise özellikle makina dairelerinde, makina ve yardımcılarının çalışmasından dolayı oluşan sıcak havayı, gaz olarak ortama karışan yağ yakıt vs. gibi ağır ve zehirleyici olabilecek gazları dışarı atmak ve rahat çalışılabilen bir ortam yaratmaktır. Bunun dışında yolcu gemilerinin yaşam mahallerinde ortama temiz hava girmesini sağlama, mutfaklarda, ortamda bulunan kötü kokuları dışarı atma gibi işlemlerde kullanılırlar.

Yerel havalandırma sistemlerinde, emiş ağzının etrafındaki havayı ve zehirli gazları yakalayabilmesindeki yeterliliği, ağzin etrafındaki hava akımının hesaplanması ile belirlenebilir. Bu gazların en etkin biçimde dışarı atılması ve emiş yeterliliğinin hesaplanması ise pek çok bilim adamının inceleme konusu olmuştur.

Endüstriyel uygulamalarda, pratikte farklı geometrilere sahip egzos emiş ağızları kullanılmaktadır. Ancak teorik ve pratikte üzerinde çalışılmış modeller sınırlıdır. Ayrıca yapılan çalışmalarda türbülanslı akış değişik parametreler dikkate alınarak tam olarak incelenmemiştir. Bu çalışmada amaç dikdörtgen kesitli egzos ağız etrafındaki türbülanslı akışı sayısal ve üç boyutlu olarak incelemektir. Bu amaçla kenar uzunlukları oranı 2:1 olan dikdörtgen kesitli ve flanşlı bir egzos ağızı

modellenmiş, elde edilen sonuçlar literatürde mevcut deneysel sonuçlarla karşılaştırılmıştır.

Hız alanlarının çözümü yapılmırken egzos ağızının havayı durgun ortamdan emdiği, akışın sürekli, izotermal ve türbülanslı olduğu, akışkanın ise sıkıştırılamaz olduğu kabul edilmiştir. Türbülans modeli olarak k- $\epsilon$  türbülans modeli kullanılmıştır. Sınır şartı olarak egzos kanalının çıkışında eksenel hız sabit ( $8.5 \text{ m/s}$ ), diğer iki hız bileşeni sıfır ve diğer değişkenlerin türevleri sıfır olarak alınmıştır. Serbest akım sınırlarında sabit basınç sınır şartı kullanılmıştır. Bu sınırlarda basınç ve türbülans kinetik enerjileri sıfır kabul edilmiştir. Simetri düzleminde, düzleme dik olan hız bileşenleri ve diğer değişkenlerin türevleri sıfır alınmıştır. Cidara yakın bölgelerdeki akış, logaritmik duvar fonksiyonları kullanılarak hesaplanmıştır. Çözümlerde zaman ortalamalı Navier-Stokes denklemleri kullanılmış, türbülans kinetik enerjisi ve türbülans kinetik enerjisinin yayınımını ifade eden türbülans denklemlerinin çözümünde sonlu hacim yöntemi kullanılmıştır. Basınçlar SIMPLE algoritması ile belirlenmiştir. Çözüm yöntemi Phoenix adlı bilgisayar programına uyarlanmış ve bu program denklemlerin çözümünde kullanılmıştır.

Gemilerin makina dairesinde oluşabilecek kirli ve zehirli gazların tahliyesinin önemi, bugüne kadar yapılan çalışmaların yalnızca sanayide kullanılan tiplerdeki emiş ağızları olup bunların gemilerde kullanılanlara tam benzemesi bu tezi hazırlamamda önemli bir etken olmuştur.

## 1.2 Önceki Çalışmalar

**Cascetta (1996)** yaptığı deneysel çalışmada 173 mm çapında dairesel kesitli bir baca için hız alanlarını ölçmüştür. Aynı deneyi 240 ve 480 mm çaplı flanşlarla tekrarlayarak, 240 mm lik flanş kullanılması sonucunda emiş ağızı etrafındaki hız alanlarının genişlediğini, böylece daha geniş bir alandan havanın çekilebildiğini göstermiştir. 480 mm çaplı flanş kullanılması ile hız alanında kayda değer bir artma olmamıştır. Deney 100x600 mm ebatlarında dikdörtgen kesitli emiş ağızı ve 1300x1800 mm boyutlarında flanş ile tekrarlanmıştır. Flanş kullanılması durumunda hız alanının flanşsızca göre genişlediği gözlenmiştir. Dairesel ve dikdörtgen flanşlı ağız kullanılarak yapılan deneylerde hız alanının artmasına sebep flanşın, emiş ağızının arkasında kalan bölgedeki hava akımını engellemesi, böylece istenen bölgedeki havayı yakalama kabiliyetini artırması olarak gösterilmiş, ancak bu etkinin, dairesel flanşlı ağızlarda dikdörtgen flanşılara göre daha az olduğu belirtilmiştir.

**Cascetta ve Bellia (1996)** deneye dayalı olarak yaptıkları benzer çalışmalarında buldukları sonuçları, diğer araştırmacıların egzos ağızı girişininde orta eksen hızını hesaplamak amacıyla geliştirdikleri yöntemlerle karşılaştırmışlardır. Bu yöntemler deneysel, potansiyel akış teoremi kabulu ve geometrik model kullanarak elde edilen formüllerdir.

**Bellia ve diğ. (1998)** dairesel ve dairesel flanşlı olarak inceledikleri egzos ağızının değişik noktalarındaki ( $y$ ) hızları, dairesel kesitin çapına göre ( $D$ ) boyutsuz olarak incelemiştir. Bu mesafeler  $y/D$ 'nin 0, 0.23, 0.46, 0.69, 0.92 olduğu noktalardır. Elde edilen radyal mesafelerindeki hız yüzdeleri ( $U/U_{Av}$ ) egzos ağızı boyunca ( $x$ ), egzos ağızı çapına bağlı ( $x/D$ ) ve ampirik olarak elde edilmiştir. Ampirik formüller deneysel sonuçlarla karşılaştırıldığında değerler birbirine oldukça yakın çıkmaktadır.

**Garrison (1983)** daha önceden bu konuda çalışma yapmış literatürde mevcut araştırmacıların orta kesit hızlarını hesaplamak için geliştirdikleri ampirik formülleri vermiş, formüllerin hangi aralıkta, hangi kabullerde geçerli olduğunu belirtmiş, emme ağızına giriş alternatiflerinin (flanşlı, genişlik/boy oranı, giriş hızı) etkisini incelemiştir, bunların kullanılabilirliği hakkında yorumlar getirmiştir.

**Garrison ve Wang (1987), Garrison ve Park (1989)**, değişik emme ağızı profilleri (düz, flanşlı, kanatlı, yuvarlatılmış) için sonlu elemanlar ve grafik yaklaşım (GA) metodunu kullanarak, ayrıca sert bir yüzeyin yakınında bulunan düz profilli bir ağızın dört değişik konumu için hız alanlarını tespit etmiştir. Çözümlerde Laplace'ın iki boyutlu, sıkıştırılamaz ve irrotasyonel akışkan kabulünü kullanılarak modelleme yapılmıştır. Çalışmalarda üçüncü boyutun etkisi de göz önüne alınmıştır. Bulunan nümerik sonuçlar bu konuda yapılmış diğer çalışmalar ve deneysel sonuçlarla karşılaştırılmıştır.

**Kulmala (1993), Kulmala ve Saarenrinne (1996)** benzer çalışmalarında dikdörtgen ağızlı bir kesit için akış alanını incelemiştir. Yapılan kabullerde akışkanın izotermal ve sıkıştırılamaz olduğu, ağızın durgun ortamdan havayı emdiği varsayılmıştır. Çözümlemelerde zaman ortalamalı Navier-Stokes denklemleri, sonlu hacim metodu kullanılarak, Fluent bilgisayar programı yardımı ile çözülmüştür. Tûrbülanslı akış alanı kabulu yapılmış, standart  $k-\epsilon$  tûrbülans modeli programa uyarlanmıştır. Tûrbülanslı akış olarak probleme yaklaşılmasının nedeni pek çok pratik uygulamada kullanılan emme ağızlarında potansiyel akış teoreminin akışı tam olarak tanımlayamamasıdır.

Boy/ genişlik oranı 2/1 olan dikdörtgen bir ağız (iç genişliği 0.1 m, kalınlığı 10 mm) ele alınmıştır. Çözümlemelerde üniform olmayan grid kullanılarak akışkanın xy ve xz

düzlemlerine göre simetrik olduğu, bunun için de hesaplama alanı olarak dikdörtgenin  $\frac{1}{2}$ 'ünün alınmasının yeterli olduğu görülmüştür.

Elde edilen sayısal sonuçlar deneysel sonuçlarla karşılaştırıldığında iyi bir uyum görülmektedir. Akışın potansiyel olarak kabul edilmesinin sonuçları fazla etkilemediği vurgulanmaktadır. Bu da türbülans ve viskoz etkisinin emiş ağzının sınır tabakası hariç akış üzerinde çok etkili olmadığı anlamına gelmektedir.

**Anastas ve Hughes (1989)** yaptığı nümerik çalışmada sonlu farklar metodunu flanşlı ve flansız slotlar için uygulamış, problemi analitik olarak da çözerek bulduğu sonuçları birbirleriyle ve deneysel sonuçlarla karşılaştırmıştır.

**Flynn ve Ellenbecker (1985)** dairesel kesitli ve flanşlı bir emiş ağzının etrafındaki hız alanlarını potansiyel akış teoremi yardımıyla teorik ve üç boyutlu olarak elde etmiş, buldukları sonuçları literatürde mevcut bir araştırmmanın sonuçları ile karşılaştırmışlardır.

**Flynn ve Miller (1988)**, yapılan çalışmaların pek çoğunun Laplace denkleminin lineerleştirilmiş hali olduğunu ve çözümlerde kullanılan sınır şartlarının pratikte sağlanamadığını ayrıca emme bölgesi içinde bulunan makine, teçhizat vs. gibi hava akımını negatif yönde etkileyebilecek elemanların bulunması durumunun varolan denklemlerle tam olarak modellenemediğini öne sürmüştür. Kendilerinin uygulamaya koyduğu modellerin gerçeğe uygunluğunu araştırmış, elde ettiği sonuçları sonlu farklar metodunu kullanarak bulunan sonuçlarla karşılaştırmıştır.

Potansiyel akış teoreminden yararlanılarak elips şeklindeki flanşlı bir ağzin çevresindeki hız alanlarının üç boyutlu olarak elde edilmesi **Conroy ve diğ. (1988)** tarafından gerçekleştirılmıştır. Teorik olarak oluşturulan modellerle x, y ve z yönlerindeki hızlar hesaplanmış, yapılan deneysel çalışmanın sonuçları ile karşılaştırılmıştır.

Ulaşılan sonuca göre potansiyel akış teoreminden yola çıkarak dikdorgen kesitler için modelleme yapmak oldukça güçtür. Çünkü analitik çözüme potansiyel akış kabulu ile ulaşılabilir. Buradan yola çıkarak ele alınan aynı alana sahip iki elips için x, y ve z yönündeki hızlar teorik olarak (potansiyel akış teoremi) hesaplanmıştır. Emiş ağzında sabit potansiyel olduğundan yola çıkarak yaklaşık hesaplar yapılmış, ayrıca gerçeğe yakın sonuçlar verebilmesi için sabit potansiyel kabulu modifiye edilmiştir. Kullanılan teorik modeller aşağıdaki gibidir:

- 1) Elips, kesin çözüm;

- 2) Elips, yaklaşık çözüm;
- 3) Eşit alanı diğer elips, kesin çözüm;
- 4) Eşit alanı diğer elips, yaklaşık çözüm.

Yapılan deneysel çalışma sonunda x yönündeki hıza en yakın sonucu 1 no'lu modelin verdiği ve bunun diğer noktalardaki hız alanlarının hesaplanmasında da kullanılabileceği, dairesel ağızlar için **Flynn ve Ellenbecker (1985)**'ın yaptıkları çalışmanın bu genel durumun özel bir hali olduğu, ağızin yakınından geçen çapraz akışdaki emişin hesaplanmasıının modele bir vektör eklemekle mümkün olabileceği sonucuna varılmıştır.

Diğer bir çalışmada **Flynn ve Miller (1989)** dikdörtgen kesitli ve flanşlı bir ağızin çevresindeki hızları üç boyutlu olarak hesaplamıştır. Hesaplamlarda BIEM (Boundary Integral Equation Method) kullanılmıştır. Kullanılan modelin analitik çözümlerle yakın değerler verdiği sonucuna varılmıştır. **Flynn ve Miller (1988)**'ın sonlu farklar metoduyla silindirik koordinatlarda yaptığı nümerik çalışmasına alternatif olarak BIEM metodu kullanılmıştır. Böylece üç boyutlu bir problem, BIEM ile iki boyutlu hale getirilip çözülebilmekte ve bu alanda kullanılan pek çok emiş ağı konfigürasyonlarında kullanılabilirliktedir.

**Braconnier (1988)** emiş ağızinin orta ekseninde ve bu eksenin dışındaki hızları hesaplamak için yapılan geçmiş çalışmaları incelemiştir, ağız açıklığına belirli parametrelerin (şekil, boy/genişlik oranı, flanş olup olmaması, geçiş açısı) etkisini ve hız alanı içerisinde çevresel şartların (ağızin yakınında emishi engelleyecek bir nesnenin bulunup bulunmaması) durumunu dikkate almıştır. Orta eksen hızı için mevcut empirik ve deneysel sonuçları karşılaştırmış ve bu formüller arasından çeşitli kriterlere göre seçimler yapmıştır.

**Geisberger ve Sibbitt (1990)** yatay ve düşey konumlarda kirli havayı emen üçlü slotu deneysel olarak incelemiştir, boy-en, baca-ortalama emiş ağızı hızı ve ortalama plenum hızı-ortalama emiş ağızı hızı değerlerini değiştirerek farklı konfigürasyonlar oluşturmuş, bunlardaki emiş kayıplarını ve çevrelerindeki hız alanlarını her bir slota göre deneysel ve üç boyutlu olarak ölçmüştür ve sonuçları yorumlamıştır.

## **2. YEREL EGZOS SİSTEMLERİ**

### **2.1 Giriş**

Bu bölümde fiziksel ve işlevsel özelliklerine göre egzos sistemleri sınıflandırılmış, egzos sistemlerinin kullanım alanları ve egzos ağızları etrafında hız dağılımlarını düzenleyen yapılar hakkında bilgi verilmiştir.

### **2.2 Yerel Egzos Sistemlerinin Sınıflandırılması**

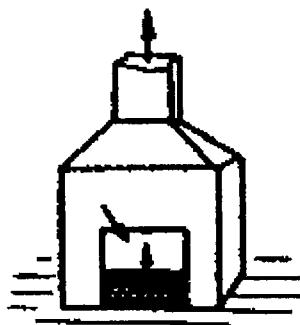
Egzos ağızları pek çok şekillerde sınıflandırılabilirler. Genel halde sınıflandırma beşe ayrılır:

- a. Yapısına göre
- b. Hava akışının yönüne
- c. Hava akışının boyutuna
- d. Hava akış yönü ile emiş ağızının bulunduğu yön arasındaki ilişkiye
- e. Hava akışının doğasına.

Aşağıdaki bölümlerde bu sistemlerle ilgili bilgiler verilecektir.

#### **2.2.1 Yapısına Göre Egzos Sistemleri**

Egzos sistemleri yapılarına göre kapalı ve açık egzos ağızları olarak ikiye ayrılabilir. Kapalı ağızların etkinliği çok daha fazladır. Açık ağızlar ise kapalının mümkün olmadığı yerlerde uygulanır.



a) Kapalı



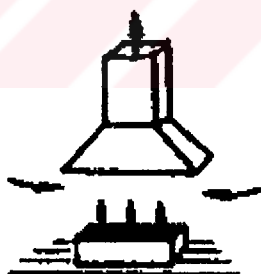
b) Açık

**Şekil 2.1 Kapalı ve Açık Egzos Ağızları**

### **2.2.2 Hava Akışının Yönüne Göre**

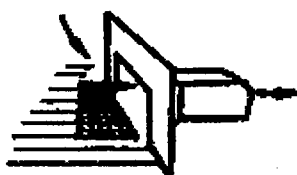
Oluşan kirli ve zehirli gazların kaynaklarından çıkış yönlerine göre de egzos ağızları dört gruba ayrılabilir.

**a) Yukarı Doğru Akışı:** Kirli ve/veya zehirli gazların ısı kaynaklı bir yerde oluşması durumunda veya oluşan gazların ortamda mevcut havadan daha hafif olması durumunda kullanılırlar. Sanayide kullanım yeri kaynak, eritme kabı,fırınlama ve sertleştirme gibi işlerdir. Şekil 2.2'de böyle bir sistem gösterilmiştir.



**Şekil 2.2 Yukarı Doğru Akışlı Egzos Ağı**

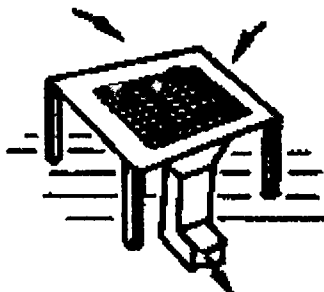
**b) Yanal Akışlı:** Oluşan gazların bağılı olarak havadan daha ağır olduğu durumlarda kullanılır. Şekil 2.3'te böyle bir sistem gösterilmiştir.



**Sekil 2.3 Yanal Akışlı Eqzos Ağızı**

Sanayide taşlama, karıştırma bileme ve sac kaplama gibi alanlarda kullanılır.

c) **Aşağı Doğru Akışı:** Kirli gazların havaya göre daha ağır olduğu durumlarda kullanılırlar. Sanayide çuval doldurma, elekleme ve boyama gibi işlemlerde kullanım alanına rastlanır. Şekil 2.4'te böyle bir sistem görülmektedir.



Şekil 2.4 Aşağı Doğru Akışlı Egzos Ağızı

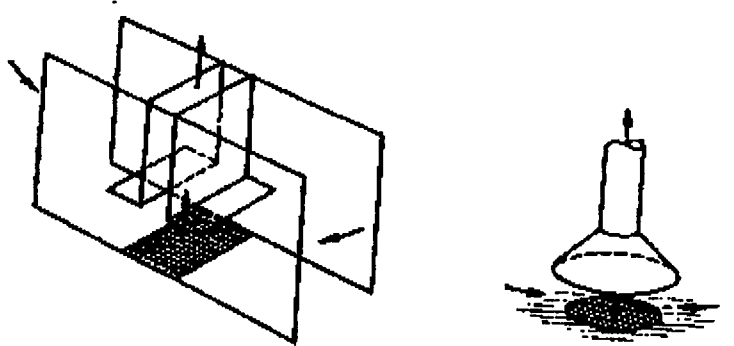
d) **Diagonal Akışı:** Belili ağırlığa sahip gazların bağıl olarak havadan daha hafif olduğu durumlarda kullanılır. Sanayide cıralama, fırınlama, sertleştirme, eritme kabının havalandırılması gibi kullanım alanlarına sahiptir. Böyle bir sistem şekil 2.5'te gösterilmiştir.



Şekil 2.5 Diagonal Akışlı Egzos Ağızı

### 2.2.3 Hava Akışının Boyutuna Göre Egzos Sistemleri

Egzos ağızları hava akışının iki veya üç boyutlu olmasına göre de sınıflandırılabilirler. Şekil 2.6a'da iki boyutlu ve 2.6b'de üç boyutlu akışın olduğu egzos sistemleri gösterilmiştir.



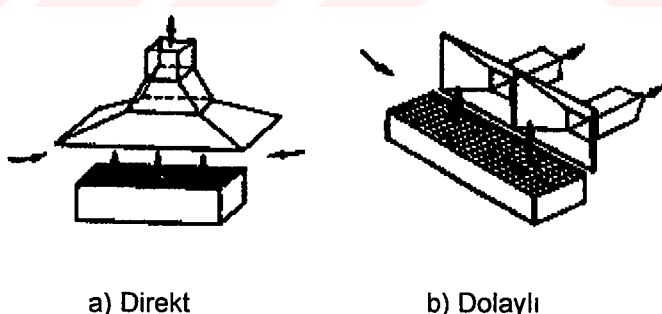
a) İki Boyutlu Akış

b) Üç Boyutlu Akış

Şekil 2.6 İki ve Üç Boyutlu Akışın Görüldüğü Egzos Sistemleri

#### **2.2.4 Hava Akış Yönü ile Egzos Ağızının Bulunduğu Yön Arasındaki İlişkiye Göre Egzos Sistemleri**

Oluşan atık gazların dosdoğru egzos ağızına ulaşması veya bu gazların ağız tarafından yakalanması şeklinde de sınıflandırma yapılabilir. Birinci tip egzos ağızı, gazların ısı ile yükselerek ağıza ulaşması şeklinde, ikinci tip ise oluşan atıkların ortamdan uzaklaştırarak çalışanları rahatsız etmeyecek şekilde düzenlenmiştir. Şekil 2.7'a'da direkt gaz yakalayıcı, 2.7'b'de ise dolaylı gaz yakalayıcı sistemler gösterilmiştir.



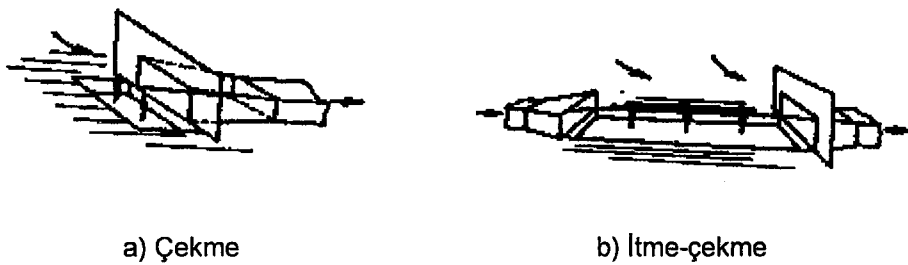
a) Direkt

b) Dolaylı

Şekil 2.7 Direkt ve Dolaylı Gaz Yakalayan Egzos Sistemleri

#### **2.2.5 Hava Akışının Doğasına Göre Egzos Sistemleri**

Gazlar, ortamdan emilerek alınma şeklinde uzaklaştırılabilceği gibi eğer oluşan gazlar ağızın emiş kapasitesinden fazla ise itme-çekme şeklinde ortamdan uzaklaştırma teknikleri kullanılabilir. Genellikle bu sistem binalarda yanım esnasında kullanılır. Basit bir anlatımla temiz hava bir taraftan yanım ortamına basılırken bir taraftan da kirli hava emilmektedir.



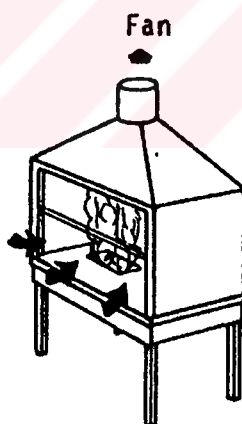
Şekil 2.8 Çekme ve İtme-çekme Şeklinde Çalışan Egzos Sistemleri

### 2.3 İşlevlerine Göre Egzos Ağızı Tipleri

Egzos ağızları işlevlerine göre üçe ayrırlar. Bunlar; kapalı ağızlar, alıcı ve yakalayıcı egzos ağızlarıdır. Bu egzos ağızları ile ilgili bilgiler aşağıdaki bölümlerde verilmiştir.

#### 2.3.1 Kapalı Egzos Ağızları

Bu tiplerde kirletici gazların olduğu bölge kapatılmıştır. Böylece atık gazlar ortam içinde tutulur. Gazların dışarı kaçmaması için bir miktar hava içeri alınır.

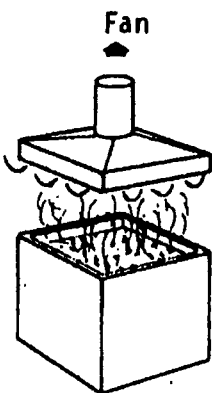


Şekil 2.9 Kapalı Egzos Ağızı

Şekil 2.9'da böyle bir egzos ağızı görülmektedir.

#### 2.3.2 Alıcı Egzos Ağızları

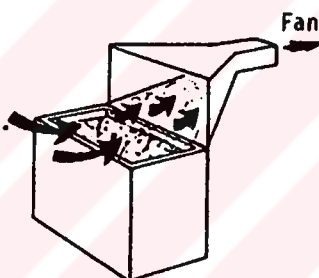
Egzos ağızının, havadan daha hafif olan atık gazların ve küçük partiküllerin atıldığı yöne yerleştirildiği ağız tipidir. Şekil 2.10'da böyle bir egzos ağızı görülmektedir.



Şekil 2.10 Alıcı Egzos Ağızı

### 2.3.3 Yakalayıcı Egzos Ağızları

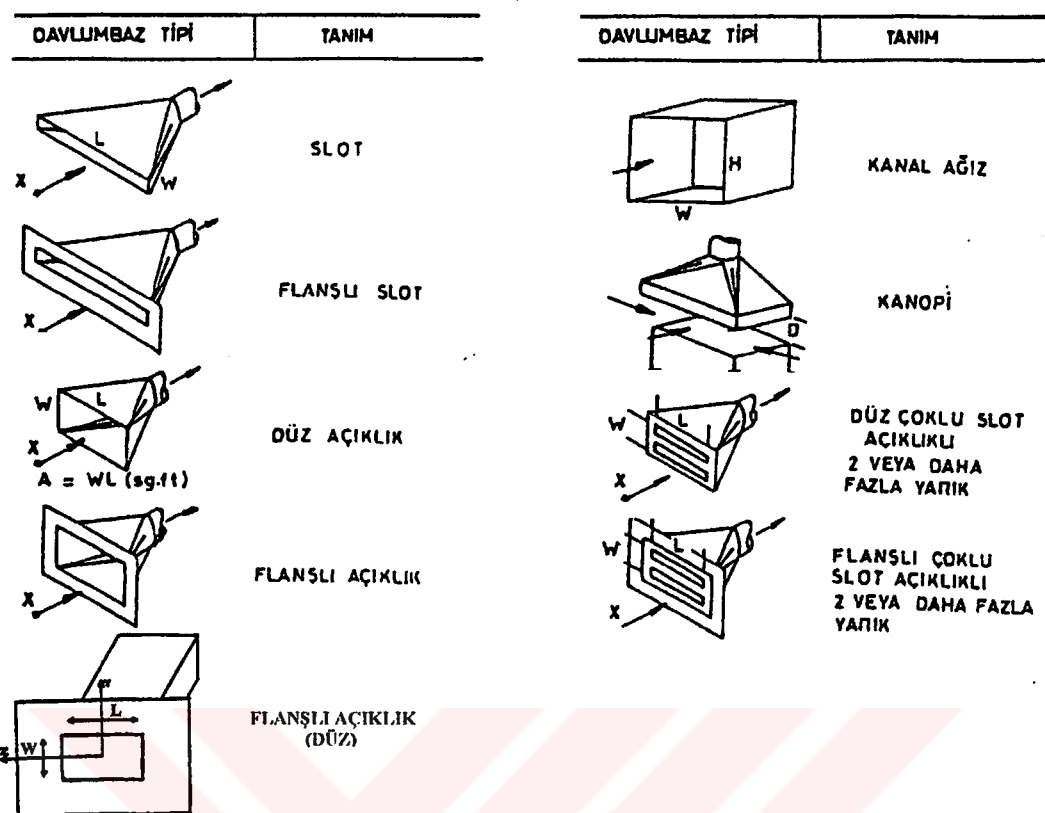
Atık zehirli gaz veya partikülleri bulundukları ortamda yakalayıp dışarı alan tipteki egzos ağızlarıdır. Şekil 2.11'de böyle bir egzos ağızı görülmektedir.



Şekil 2.11 Yakalayıcı Egzos Ağızı

Bu tip egzos ağızlarında havayı ağıza çekmek için uygun hava debisinin belirlenmesi çok önemlidir. Bu amaçla yakalama hızı kavramı geliştirilmiştir. Egzos ağızının önünde, var olan kirli havayı yeterli bir şekilde ortamdan uzaklaştırabilmesi için egzos ağızına doğru hava akışı olmalıdır. Buna yakalama hızı adı verilir. Gerekli yakalama hızı, kirli gazların miktarına ve hareketine göre değişir. Esnek kullanılabilir olması avantajına karşı iki büyük dezavantajı vardır. Bunlardan biri gerekli yakalama hızı elde edebilmek için yüksek hacimde hava gerektirmesi diğeri de bütün yakalayıcı egzos ağızlarında etkili olduğu alanın 60 cm. civarında olmasıdır.

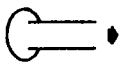
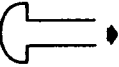
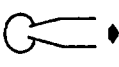
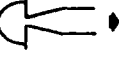
Egzos ağızlarının atık gazları ve/veya küçük partikülleri ortamdan yeterli bir şekilde uzaklaştırabilmesi için yakalama hızını şartlara ve ortama göre yönlendiren farklı egzos ağızları düzenlenmiştir. Şekil 2.12'de değişik egzos ağızları gösterilmiştir.



Şekil 2.12 Değişik Egzos Ağızları

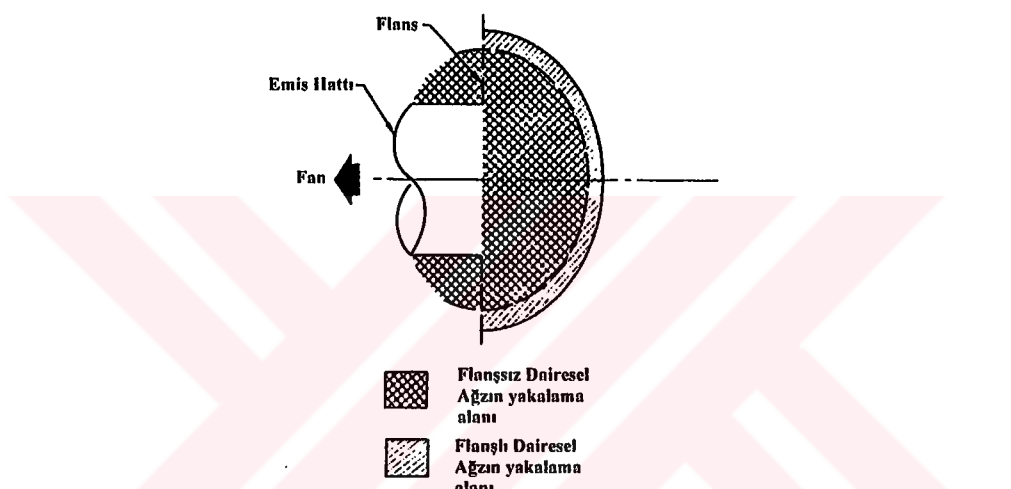
Örnek olarak düz açıklık olarak belirtilen ağız tipi sanayide genellikle kaynak işlerinde kullanılmaktır, slot ağız ise elektroliz kaplamada dar ağızlı tankların yüzeylerindeki gazları toplamakta kullanılmaktadır..

Her bir egzos ağızı profiliin kendine özgü yakalama hızı alanları mevcuttur. Bunlar gerek deneysel gerekse sayısal metodlarla belirlenebilirler.

AĞIZ TİPİ	HİZ ALANLARININ SEKLİ
Düz Ağız	
Flanslı Ağız	
Slot	
Flanslı Slot	

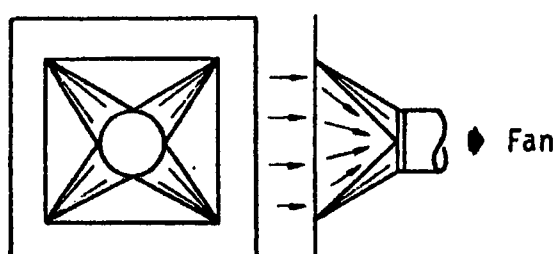
Şekil 2.13 Dairesel ve Slot Kesitli Profillerin Hız Alanları

Şekil 2.13'te düz ve slot kesitli profillerin hız alanları sembolik olarak gösterilmiştir. Görüleceği gibi her iki kesitte de flanşlı ağızların yakalama hızı alanları ileriye doğru bir artma göstermektedir. Şekil 2.14'te dairesel kesitli egzos ağızının çevresindeki hız alanları flanşlı ve flanşsız durum için gösterilmiştir. Görüldüğü gibi ağızların çevresinde flanş kullanımı sayesinde gazların oluşturduğu ortamın dışı olan emis ağızının arka tarafından hava emilmez. Bu bölge flanşla kapalı tutulduğu için ağızin havayı emdiği aktif mesafe yaklaşık %20 artar. Buna ek olarak flanş kullanılmaması durumunda ağızin arkasından emilecek olan hava, esas gazların oluşum bölgesi olan ön taraftan alınan gazların ağıza ulaşmasına ve dışarı atılmasına engel teşkil edecektir.



Şekil 2.14 Flanşlı ve Flanşsız Egzos Ağızlarının Yakalama Alanları

Flanş kullanımının dışında egzos emis ağızlarının önünde iyi hız dağılımı sağlayan ağız tiplerinden biri de konik egzos ağızıdır. Şekil 2.15'te böyle bir sistem görülmektedir.

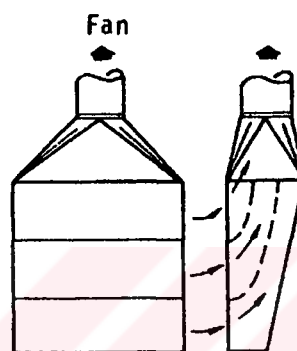


Şekil 2.15 Konik Ağız

Konik ağız, ağıza doğru yönelmiş havanın tüm ağız boyunca emilmesine olanak sağlar. Ancak  $60^\circ$  den fazla olan koniklik açılarında hava konik kısım tarafından iyi

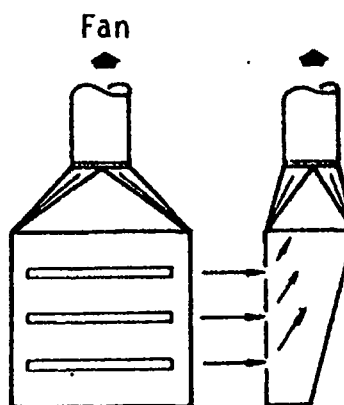
yakalanamaz. Büyük egzos ağızlarında konik ağızın fiziksel büyülüğu havanın üniform hız dağılımını teknik olarak mümkün kılmaz.

Havanın üniform olarak dağılmasında dar aralıklı kanallar da kullanılabilir. Şekil 2.16'da böyle bir sistem görülmektedir. Bunlar az yer kaplamalarının yanında hava akışına gösterdikleri direncin az olması ile de konik ağıza göre daha avantajlıdır. Ancak korozyon, aşınma ve malzeme yapısına bağlı olarak dayanıksızlığını kullanılabiliyorlığını kısıtlar.



Şekil 2.16 Dar Aralıklı Kanallardan Oluşan Egzos Ağı

Havanın, emiş ağızının girişinde üniform dağılımı sağlamaada sık kullanılan yöntemlerden biri çoklu slot kullanmaktadır.



Şekil 2.17 Çoklu Slot Şeklindeki Egzos Ağı

Çalışmalar, genişlik/boy oranının 0.2 yi aşmadığı durumlarda hava hızının slot boyunca üniform kaldığını göstermiştir. Slot kullanmanın bir diğer avantajı da az yer kaplaması ve uzun bir yüzeyde hava dağılımını sağlamasıdır. Buna karşılık yüksek slot giriş hızına bağlı olarak türbülanstan kaynaklanan basınç kayıpları

fazlalaşmaktadır. Slot hızı 10 m/sn seçilerek bu kayıp azaltılabilir ve iyi bir hava akışı sağlanabilir.



### 3. MATEMATİK MODEL

#### 3.1 Giriş

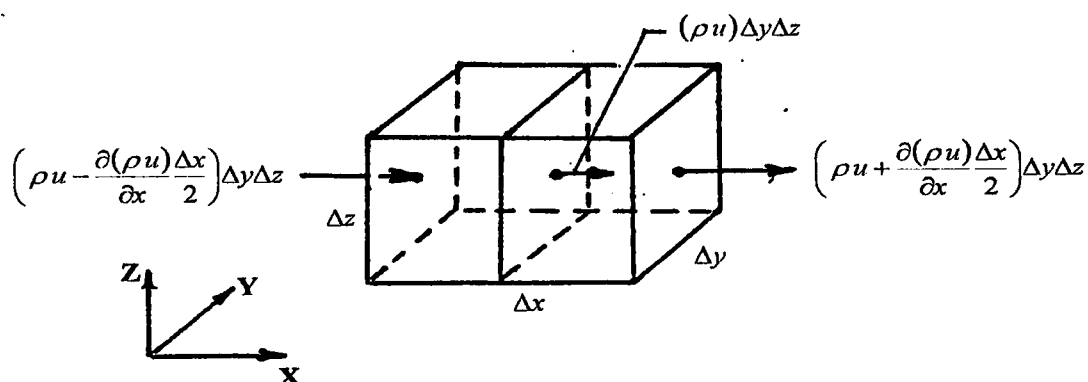
Bu bölümde matematik modelin hız ve türbülans alanlarını hesaplarken kullanılan temel denklemlerden bahsedilmiş, türbülans modellemesi, egzos kanalı içinde duvara yakın kısımlarda yapılan kabuller, kullanılan ağı ve bu ağda hız ve basınç gibi değerlerin hesaplanması sırasında kullanılan sayısal metod anlatılmış ve çözüm algoritması sunulmuştur.

#### 3.2 Yönetici Denklemler

**a) Sürekliklilik Denklemi:** Hesaplamlarda kullanılan temel bağıntılardan biri süreklilik denklemidir. Şekil 3.1'de kontrol hacmi üzerinde kütle dengesi görülmektedir. Genel anlamda süreklilik denklemi:

$$\int_{\text{kontrol hacmi alanı}} \rho \cdot U \cdot dA = - \int_{\text{kontrol hacmi}} \frac{\partial \rho}{\partial t} dV \quad (3.1)$$

şeklinde ifade edilir. Yani birim zamanda kontrol hacmine giren akışkan kütlesi, kontrol hacmi içinde birim zamandaki kütle artmasıdır. x yönünde giren ve çıkan kütleler yazılırsa;



Şekil 3.1 Kontrol Hacminde Sürekliklilik İfadesi

$[\rho u - \frac{\partial(\rho u)}{\partial x} \frac{\Delta x}{2}] \Delta y \Delta z$  = Birim zamanda kontrol hacmine giren akışkan kütlesi,

$[\rho u + \frac{\partial(\rho u)}{\partial x} \frac{\Delta x}{2}] \Delta y \Delta z$  = Birim zamanda kontrol hacminden çıkan akışkan kütlesi  
olarak tanımlanırsa kontrol hacminde değişen akışkan kütlesi:

$$[(\rho u + \frac{\partial(\rho u)}{\partial x} \frac{\Delta x}{2}) - (\rho u - \frac{\partial(\rho u)}{\partial x} \frac{\Delta x}{2})] \Delta y \Delta z = \frac{\partial(\rho u)}{\partial x} \Delta x \Delta y \Delta z \quad (3.2)$$

Aynı şekilde y ve z doğrultularında birim zamanda değişen akışkan kütleleri de

$$\frac{\partial(\rho v)}{\partial y} \Delta x \Delta y \Delta z, \quad \frac{\partial(\rho w)}{\partial z} \Delta x \Delta y \Delta z \quad (3.3)$$

olacaktır. Böylece kontrol hacminde değişen toplam kütle

$$[\frac{\partial(\rho u)}{\partial x} + \frac{\partial(\rho v)}{\partial y} + \frac{\partial(\rho w)}{\partial z}] \Delta x \Delta y \Delta z \quad (3.4)$$

şeklinde ifade edilebilir. Genel denklemdeki ifadeyi göz önüne alınırsa

$$[\frac{\partial(\rho u)}{\partial x} + \frac{\partial(\rho v)}{\partial y} + \frac{\partial(\rho w)}{\partial z}] \Delta x \Delta y \Delta z = - \frac{\partial \rho}{\partial t} \Delta x \Delta y \Delta z \quad (3.5)$$

elde edilir. Bu da bize

$$\frac{\partial(\rho u)}{\partial x} + \frac{\partial(\rho v)}{\partial y} + \frac{\partial(\rho w)}{\partial z} = - \frac{\partial \rho}{\partial t} \quad (3.6)$$

ifadesini verir. Yapılan çalışmada akışkan sıkıştırılamaz kabul edildiğinden denklem

$$\frac{\partial u}{\partial x} + \frac{\partial v}{\partial y} + \frac{\partial w}{\partial z} = 0 \quad (3.7)$$

şeklinde sadeleşmiştir. Bu tansör notasyonu ve türbülanslı akış için;

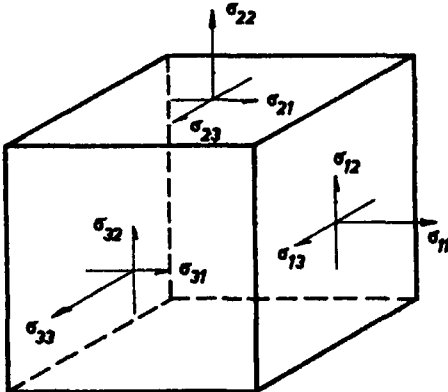
$$u_i = \bar{u}_i + u'_i, \quad \rho = \bar{\rho} + \rho', \quad p = \bar{p} + p' \quad (3.8)$$

olmak üzere

$$\frac{\partial(\rho \bar{u}_i)}{\partial x_i} = 0 \quad (3.9)$$

şeklinde yazılabilir.

**b) Momentum:** Momentumun korunumu kısaca; akışkan kütlesindeki momentumun değişme oranının, akışkan kütlesinin üzerine etkiyen net dış kuvvetlere eşitliği olarak tanımlanabilir.



Şekil 3.2 Kontrol Hacminde Momentum Korunumu

Şekil 3.2'de kontrol hacmi üzerinde momentumun korunumu gösterilmiştir.  $\mathbf{f}$ 'in birim Kütle üzerine etkiyen bünye kuvvetlerinin bileşke vektörü olduğu kabulüyle  $\forall$  hacmi içerisindeki kütleye etkiyen dış bünye kuvveti

$$\int_V \rho f dV \quad (3.10)$$

şeklinde yazılabilir.  $P$ 'yi de birim alan üzerine etkiyen yüzey kuvvetinin bileşke vektörü kabul edersek  $S$  yüzeyine sahip  $\forall$  hacmi üzerine etkiyen dış yüzey kuvveti

$$\int_S P dS \quad (3.11)$$

olacaktır. Genel momentumun korunumu denklemini yazarsak

$$\frac{D}{Dt} \int_V \rho u dV = \int_S P dS + \int_V \rho f dV \quad (3.12)$$

elde edilir. Yüzeye etkiyen kuvvet, her bir yüzeydeki birim normal vektör ve gerilme ile  $P_i = \sigma_{ij} n_j$  şeklinde ifade edilebilir. Sol taraftaki birinci terimi Reynolds'un transport teoremine göre açıp, sağ tarafta elde ettiğimiz alan integralini de Gauss teoremine göre hacim integraline çevirir ve bunu tansör notasyonu şeklinde gösterirsek

$$\int_V \left[ \frac{\partial(\rho u_j)}{\partial t} + \frac{\partial(\rho u_j u_k)}{\partial x_k} \right] dV = \int_V \frac{\partial \sigma_{ij}}{\partial x_i} dV + \int_V \rho f_i dV \quad (3.13)$$

buradan sol taraftaki birinci ve ikinci terimler açılarak

$$\rho \frac{\partial u_j}{\partial t} + u_j \frac{\partial \rho}{\partial t} + u_j \frac{\partial(\rho u_k)}{\partial x_k} + \rho u_k \frac{\partial u_j}{\partial x_k} = \frac{\partial \sigma_{ij}}{\partial x_i} + \rho f_i \quad (3.14)$$

elde edilir. İkinci ve üçüncü terimler süreklilik denklemine göre sıfır olduğundan momentumun korunumu denklemi son haliyle

$$\rho \frac{\partial u_j}{\partial t} + \rho u_k \frac{\partial u_j}{\partial x_k} = \frac{\partial \sigma_{ij}}{\partial x_i} + \rho f_i \quad (3.15)$$

şeklini alır. Denklemdeki bazı terimleri açar ve denklem 3.8'i uygularsa türbülanslı akış ve sıkıştırılabilir akışkan için denklem

$$\frac{\partial(\rho \bar{u}_i)}{\partial t} + \frac{\partial}{\partial x_j} (\rho \bar{u}_i \bar{u}_j + \rho \bar{u}_i \bar{u}_j) = -\frac{\partial \bar{p}}{\partial x_i} + \frac{\partial \bar{\tau}_{ij}}{\partial x_j} \quad (3.16)$$

durumuna gelir.

Denklemde  $\bar{\tau}_{ij}$  ortalama viskoz gerilimi tansöründür ve

$$\bar{\tau}_{ij} = \mu \left( \frac{\partial \bar{u}_i}{\partial x_j} + \frac{\partial \bar{u}_j}{\partial x_i} \right) \quad (3.17)$$

şeklinde ifade edilir.

**c) Navier-Stokes:** Momentumun korunumu ve Newtonien akışkan kabulünden Navier-Stokes denklemleri elde edilir. Viskozyo sıkıştırılabilir bir akışkan için genel Navier-Stokes denklemi x,y ve z eksenlerinde sırasıyla

$$\begin{aligned} \rho \frac{D u}{D t} &= \rho \left( \frac{\partial u}{\partial t} + \mathbf{U} \cdot \nabla u \right) = \rho f_x - \frac{\partial P}{\partial x} + \frac{\partial}{\partial x} \left\{ \mu \left[ 2 \frac{\partial u}{\partial x} - \frac{2}{3} (\nabla \cdot \mathbf{U}) \right] \right\} + \frac{\partial}{\partial y} \left[ \mu \left( \frac{\partial u}{\partial y} + \frac{\partial v}{\partial x} \right) \right] \\ &+ \frac{\partial}{\partial z} \left[ \mu \left( \frac{\partial w}{\partial x} + \frac{\partial u}{\partial z} \right) \right] \end{aligned} \quad (3.18a)$$

$$\begin{aligned} \rho \frac{D v}{D t} &= \rho \left( \frac{\partial v}{\partial t} + \mathbf{U} \cdot \nabla v \right) = \rho f_y - \frac{\partial P}{\partial y} + \frac{\partial}{\partial y} \left\{ \mu \left[ 2 \frac{\partial v}{\partial y} - \frac{2}{3} (\nabla \cdot \mathbf{U}) \right] \right\} + \frac{\partial}{\partial z} \left[ \mu \left( \frac{\partial v}{\partial z} + \frac{\partial w}{\partial y} \right) \right] \\ &+ \frac{\partial}{\partial x} \left[ \mu \left( \frac{\partial u}{\partial y} + \frac{\partial v}{\partial x} \right) \right] \end{aligned} \quad (3.18b)$$

$$\begin{aligned} \rho \frac{Dw}{Dt} &= \rho \left( \frac{\partial w}{\partial t} + \mathbf{U} \cdot \nabla w \right) = \rho f_z - \frac{\partial P}{\partial z} + \frac{\partial}{\partial z} \left\{ \mu \left[ 2 \frac{\partial w}{\partial z} - \frac{2}{3} (\nabla \mathbf{U}) \right] \right\} + \frac{\partial}{\partial x} \left[ \mu \left( \frac{\partial w}{\partial x} + \frac{\partial u}{\partial z} \right) \right] \\ &+ \frac{\partial}{\partial y} \left[ \mu \left( \frac{\partial v}{\partial z} + \frac{\partial w}{\partial y} \right) \right] \end{aligned} \quad (3.18c)$$

olarak yazılabilir veya tansör notasyonu yardımıyla D ve  $\Theta$

$$D_{ji} = \frac{\partial u_i}{\partial x_j} + \frac{\partial u_j}{\partial x_i} \quad (3.19)$$

$$\Theta = \frac{\partial u_i}{\partial x_i} = -\frac{1}{\rho} \frac{D\rho}{Dt} \quad (\text{Kütlenin korunumundan}) \quad (3.20)$$

olmak üzere

$$\rho \frac{Du_i}{Dt} = -\frac{\partial p}{\partial x_i} + \frac{\partial}{\partial x_j} \mu D_{ji} - \frac{2}{3} \frac{\partial}{\partial x_i} \mu \Theta + f_i \quad (3.21)$$

şeklinde gösterilebilir. Akışkanı modelimizde olduğu gibi sıkıştırılamaz ve yoğunluğunu da sabit kabul edersek bu durumda

$$\rho \frac{Du_i}{Dt} = -\frac{\partial p}{\partial x_i} + \frac{\partial}{\partial x_j} \left( \mu \frac{\partial u_i}{\partial x_j} \right) + \frac{\partial u_j}{\partial x_i} \frac{\partial \mu}{\partial x_j} + f_i \quad (3.22)$$

durumuna gelir. Bu denklem türbülanslı akış için düzenlenip zaman ortalaması alınırsa

$$\rho \left( \frac{\partial \bar{u}_i}{\partial t} + \bar{u}_j \frac{\partial \bar{u}_i}{\partial x_j} \right) = -\frac{\partial \bar{p}}{\partial x_i} + \frac{\partial}{\partial x_j} \left( \mu \frac{\partial \bar{u}_i}{\partial x_j} - \rho \bar{u}_i \bar{u}_j \right) + \bar{f}_i \quad (3.23)$$

elde edilir.

### 3.3 Türbülans Modeli

Navier-Stokes denkleminden çıkan  $\rho \bar{u}_i \bar{u}_j$  terimi viskoz gerilme ve p basıncının oluşturduğu gerilmeye ek olarak akışkan üzerine fazladan gelen bir gerilmedir. Buna Reynolds gerilmesi denir.

Turbülans taşınımını modellerken, turbülansı genellikle zaman skaları ( $k/\varepsilon$ ) veya uzunluk skalarında ( $k^{3/2}/\varepsilon$ ) belirlenmesi gerekmektedir. Modellemeler uygulanırken  $\varepsilon$ 'un da akış alanı üzerindeki dağılımını belirlenmesi gerekmektedir. Bu da  $\varepsilon$  için taşınım denklemini çözülmesiyle sağlanabilmektedir.  $\varepsilon$ 'u içeren tam denklem Navier-Stokes'tan çıkartılabilir ancak bu denklem bilinmeyen bağıntılardan dolayı turbülans modellerinde direkt olarak kullanılamamaktadır. Turbülans kinetik enerji yayım oranını ( $\varepsilon$ ) kullanılabılır hale getirebilmek için farklı turbülans modellemeleri geliştirilmiştir.

Güçlü bilgisayarların hayatımıza girmesi ile bilgisayarların, zaman ortalamalı Navier-Stokes denklemlerinin turbülanslı akışlar için sayısal çözümünü yapabileceği umidi doğmaktadır. Ancak çok miktarda hafıza gereksinimi bunu mümkün kılmamaktadır.

Turbülansı modelleyebilmek etmek için pek çok model geliştirilmiştir. Bunlardan bazıları aşağıda verilmiştir.

**a) Direkt Nümerik Simülasyon:** Turbülans simülasyonu için en doğru yöntem Navier-Stokes denklemleri elde edilirken yapılan kabuller veya denklemlerin ortalaması alınmadan yapılanıdır. Bu DNS (direkt sayısal simülasyon) yöntemi denilmektedir. Dikkate alınması gereken şey pratik olarak hesaplama alanının en büyük turbülanslı girdap boyunda olması gerektidir. Bu, hesaplama alanı boyutlarının en az boy skalasının ( $L$ ) beş misli olması demektir. Diğer yandan küçük girdaplarda oluşan enerji kaybının simülasyonu için ki burada viskozite etkilidir- ağ sıklığının belli bir ölçekten büyük olmamaları gerekmektedir. Homojen turbülans, en basit turbülans tipidir ve üniform ağdan başka bir ağ kullanılmasına gerek görülmemektedir.

**b) Filitrasyon Metodu:** Bu yöntemde amaç turbülansın daha büyük ölçeklerdeki hareketini modellemek ve daha küçük olanlarının ortalamasını almaktır. Bu LES (büyük girdap simülasyonu) olarak adlandırılmaktadır. Böyle bir yöntemde yapılan kabule göre büyük girdaplar enerjinin çoğunu bünyelerinde barındırmakta ve akıştan akışa değişmektedirler. Küçük girdaplar ise daha az önemlidir ve modellemeleri daha kolaydır. RANS (Reynolds ortalamalı Navier-Stokes) durumunda olduğu gibi miktarları hassas olarak hesaplamak gerekmektedir. Bunu yapabilmek için de tüm alanda mevcut büyük skalalı elemanların hız alanlarını tanımlamak gerekmektedir. Navier-Stokes denklemleri filtre edildiğinde RANS denklemine çok yakın olan terimler elde edilebilmektedir. Reynolds gerilim tansörü burada, sabgrid skalalı Reynolds gerilimi (SGS)

$$\tau_{ij} = \overline{u_i u_j} - \overline{u_i} \overline{u_j} \quad (3.24)$$

olarak tanımlanmaktadır. SGS, LES'in en ayırt edici özelliklerinden biri olarak gösterilmektedir. Bu tipteki modeller aşağıda verilmiştir:

**c) Smogorinsky Modeli:** Boussinesq denklemlerinin SGS'e adaptasyonu gibi düşünülebilcek bir girdap viskozite modelidir. Yüksek Reynolds sayılarında, büyük boyutlu girdaplara enerji girişi olurken küçük boyutlu girdaplarda kayıplar oluşmaktadır. Bu durumda türbülansın enerjisinden bir şey kaybedilmemektedir. Yalnızca büyük girdaplardan küçüklere enerji transferi söz konusu olmaktadır. Navier-Stokes denklemlerinin lineer olmayan terimleri enerji transferini temsil etmektedirler. Girdap simülasyonunda büyük ölçeklerdeki girdaplар, sabgridli ölçekler geriye dönüşsüz enerji vermektedirler. Bu da  $\varepsilon$  yayının oranını

$$\varepsilon \approx v_T q^2 / \Delta^2 \quad (3.25a)$$

$$v_T = Q \Delta^{4/3} L^{-1/3} \quad (3.25b)$$

şeklinde alınmasını sağlamaktadır.

**d) Büyüklük Benzerliği Modeli:** Bu modelde, türbülanslı ve türbülansız ölçekler birbirleriyle etkileşime girip, önce küçük girdaplarda daha sonra büyük girdaplarda karışmaktadır. Bu girdaplars filtresyon ile ilişkili  $\Delta$ 'dan biraz büyük veya küçük olabilmektedir. En büyük türbülansız ölçeklerin ikinci kez filtresyonu yapılrsa, en küçük ölçekler  $\overline{u}_i - \overline{\bar{u}}_i$  olarak tanımlanabilir. En büyük türbülanslı ölçek ise  $\overline{\overline{u}}_i$  olduğundan

$$\tau_{ij} = \overline{\overline{u}_i \overline{u}_j} - \overline{\overline{u}_i} \overline{\overline{u}_j} \quad (3.26)$$

elde edilebilmektedir.

**e) Spektral Modeller:** Türbülansın rastgele bir hareket olduğu yorumundan yola çıkarak, istatiksel olarak hareketleri inceleme yoluna da gidilmiştir. Belli bir değerden daha büyük değerdeki dalgalarla yapılan enerji transferi girdap viskozitesi olarak kabul edilebileceği 1948 yılında, atmosferdeki türbülans olayları, 1964 yılında geliştirilen bir metod ile yalnızca büyük girdaplارın simülasyonunun yapılabilmesi sağlanmıştır.

**f) Duvar Modelleri:** Yalnızca akış sınırlarındaki alanı çözmek için geliştirilmiş bir yöntemdir ve bunun için tüm akış alanını bulmaya gerek görülmektedir. Bu konuda yapılan çalışmalar, tüm akış alanını çözmeden de iyi simülasyonlar yapılabileceğini göstermektedir. Duvar bölgesini çözmek için çok iyi ağı yapılması

gerekmektedir. Yapılan kabul, akış sınırına en yakın ağ noktasındaki anlık hızın direkt olarak sınırdaki kayma gerilmesi ile bağıntılı olduğunu.

**g) RANS Modelleri:** Reynolds yaklaşımı ile yapılan türbülans çözümlemelerinde tüm düzensiz hareketlerin ortalaması alınabilmektedir. Yani tüm düzensizlikler türbülansın bir parçası gibi görülmüştür. Navier-Stokes denklemlerinde lineer olmayan terimler, Reynolds ortalamalı Navier-Stokes denklemlerindeki Reynolds gerilimini içeren terimlerde artmaya neden olmaktadır. Bu terimlerin modellenmesi gereklidir. Turbulanstanstaki kompleks hareketler tek bir modelin tüm türbülans hareketlerini gösterebilmesini güçlendirmektedir. Bunun için de türbülans, elde edilen katsayıların denkleme adaptasyonu ile sağlanabilmektedir (**Gatski ve diğ., 1996**).

Türbülans karışımındaki değişimleri belirlemek için empirik bir sabit kullanma fikri ilk olarak karışım boyu modeli ile yapılmıştır. Turbulans hareketlerinin viskozitedeki artışlar olarak kabul edilebileceği 1877 yılında yapılan bir çalışma ile gösterilmiştir. Buna göre

$$\tau_{12} = \rho v_r \frac{\bar{du}}{\partial y} \quad (3.27)$$

veya genel tanımı ile

$$\tau_{ij} - \frac{1}{3} \tau_{kk} \delta_{ij} = \rho v_r \left( \frac{\bar{du}_i}{\partial x_j} + \frac{\bar{du}_j}{\partial x_i} \right) \quad (3.28)$$

şeklindedir. Bunun dışında 1945 yılında yapılan diğer bir çalışmada girdap viskozitelerinin ortalama türbülans kinetik enerji ile bağıntılı olduğunu görülmüştür. K türbülans kinetik enerji göstermek üzere:

$$v_r = Mk^{1/2} L \quad (3.29)$$

bağıntısını bulunmuştur. Burada M sabit bir sayıyı göstermektedir. Turbulans kinetik enerji denklemi, 1972 yılında yapılan taşınım ve türbülans kinetik enerjisi yayının oranı terimlerini içeren ek bir hipotez yardımıyla çözülebilmektedir. Bu da

$$\mu_r = \rho C_\mu \frac{k^2}{\epsilon} \quad (3.30)$$

bağıntısıdır. Denklemde geçen  $\epsilon$

$$\epsilon = k^{3/2} / L \quad (3.31)$$

dir. Bu bağıntının kullanılması ile enerji denkleminin yanında yayınım için uygun modellenmiş ek denklemlerin olması gerektiği, böylece denkleme yeni sabitler geleceği böylece kullanılan modelin pek çok deneyel akış problemlerine çok iyi uyum gösterebileceği belirtilmiştir. Model 1972 yılında sunulmuş ve  $k-\varepsilon$  türbülans modeli adı verilmiştir (**Landahl ve Mollo-Christensen, 1992**).

### 3.3.1 $k-\varepsilon$ TÜRBÜLANS MODELİ

$k-\varepsilon$  türbülans modeli gerek bilgisayarda az yer kaplaması gerekse kısa çözüm zamanı açısından akış problemlerinin çözümünde sıkça kullanılmaktadır.

Türbülansın etkisi viskozitedeki artış olarak tanımlanabilir. Girdap viskozite modeli

$$-\rho \overline{u_i u_j} = \mu_t \left( \frac{\partial \overline{u_i}}{\partial x_j} + \frac{\partial \overline{u_j}}{\partial x_i} \right) - \frac{2}{3} \rho \delta_{ij} k \quad (3.32)$$

şeklindedir. Türbülans kinetik enerji denklemi yazılırsa:

$$\frac{\partial(\rho k)}{\partial t} + \frac{\partial(\rho \overline{u_j} k)}{\partial x_j} = \frac{\partial}{\partial x_j} \left( \mu \frac{\partial k}{\partial x_j} \right) - \frac{\partial}{\partial x_j} \left( \frac{\rho}{2} \overline{u_j u_i u_i} + \overline{p u_j} \right) - \rho \overline{u_i u_j} \frac{\partial \overline{u_i}}{\partial x_j} - \mu \frac{\partial \overline{u_i}}{\partial x_k} \frac{\partial \overline{u_i}}{\partial x_k} \quad (3.33)$$

Eşitliğin sağdan ikinci terimi kinetik enerjinin dağılımını göstermektedir ve gradyan dağılıımı şeklinde modellenebilir:

$$-\left( \frac{\rho}{2} \overline{u_j u_i u_i} - \overline{p u_j} \right) \approx \frac{\mu_t}{\sigma_k} \frac{\partial k}{\partial x_j} \quad (3.34)$$

Eşitliğin sağındaki üçüncü terim de akışın, zaman ortalamalı akıştan türbülanslı hale geçenken sisteme soktuğu kinetik enerji miktarını göstermektedir. Bu denklem de girdap viskozite hipotezi kabulu ile:

$$-\rho \overline{u_i u_j} \frac{\partial \overline{u_i}}{\partial x_j} \approx \mu_t \left( \frac{\partial \overline{u_i}}{\partial x_j} + \frac{\partial \overline{u_j}}{\partial x_i} \right) \frac{\partial \overline{u_i}}{\partial x_j} \quad (3.35)$$

şeklinde yazılabilir. Türbülansın büyüklüğünü belirtmek için enerji denkleminin içinde  $\varepsilon$ 'u tanımlamak gerekmektedir. Bu bağıntı

$\varepsilon \approx \frac{k^{3/2}}{L}$  şeklindedir. Türbülans kinetik enerji denklemini yeniden düzenlenirse

$$\frac{\partial(\rho \varepsilon)}{\partial t} + \frac{\partial(\rho u_j \varepsilon)}{\partial x_j} = C_{\varepsilon 1} P_k \frac{\varepsilon}{k} - \rho C_{\varepsilon 2} \frac{\varepsilon^2}{k} + \frac{\partial}{\partial x_j} \left( \frac{\mu_t}{\sigma_\varepsilon} \frac{\partial \varepsilon}{\partial x_j} \right) \quad (3.36)$$

şeklinde yazılabilir. Burada girdap viskozitesi

$$\mu_t = \rho C_\mu \sqrt{k} \quad L = \rho C_\mu \frac{k^2}{\varepsilon} \quad (3.37)$$

şeklindedir. Denklemdeki  $C_\mu$ ,  $C_{\varepsilon 1}$ ,  $C_{\varepsilon 2}$ ,  $\sigma_k$  ve  $\sigma_\varepsilon$  sabit değerlerdir.

Tüm yönetici denklemler genel halde aşağıdaki gibi yazılabilir:

$$\frac{\partial(\rho u \phi)}{\partial x} + \frac{\partial(\rho v \phi)}{\partial y} + \frac{\partial(\rho w \phi)}{\partial z} = \frac{\partial}{\partial x} (\Gamma_{eff} \frac{\partial \phi}{\partial x}) + \frac{\partial}{\partial y} (\Gamma_{eff} \frac{\partial \phi}{\partial y}) + \frac{\partial}{\partial z} (\Gamma_{eff} \frac{\partial \phi}{\partial z}) + S_\phi \quad (3.38)$$

Burada  $\phi$ ; bağımsız değişkenleri ( $u, v, w, k, \varepsilon$ ) göstermektedir. Genel denklemdeki terimler Tablo 3.1 de gösterilmiştir.

**Tablo 3.1 Denklemlerdeki değişkenler, yayınınm katsayıları ve kaynak terimler**

Denklem	$\phi$	$\Gamma_\phi$	$S\phi$
Süreklik	1	0	0
x-momentum	u	$\mu_{eff}$	$-\frac{\partial p}{\partial x} + \frac{\partial}{\partial x} (\mu_{eff} \frac{\partial u}{\partial x}) + \frac{\partial}{\partial y} (\mu_{eff} \frac{\partial v}{\partial x}) + \frac{\partial}{\partial z} (\mu_{eff} \frac{\partial w}{\partial x})$
y-momentum	v	$\mu_{eff}$	$-\frac{\partial p}{\partial y} + \frac{\partial}{\partial x} (\mu_{eff} \frac{\partial u}{\partial y}) + \frac{\partial}{\partial y} (\mu_{eff} \frac{\partial v}{\partial y}) + \frac{\partial}{\partial z} (\mu_{eff} \frac{\partial w}{\partial y})$
z-momentum	w	$\mu_{eff}$	$-\frac{\partial p}{\partial z} + \frac{\partial}{\partial x} (\mu_{eff} \frac{\partial u}{\partial z}) + \frac{\partial}{\partial y} (\mu_{eff} \frac{\partial v}{\partial z}) + \frac{\partial}{\partial z} (\mu_{eff} \frac{\partial w}{\partial z})$
Türb.kin.enerji	k	$\mu_{eff} / \sigma_k$	$P - \rho \varepsilon$
Türb.en.yayınınm	$\varepsilon$	$\mu_{eff} / \sigma_\varepsilon$	$(C_{\varepsilon 1} - C_{\varepsilon 2} \rho \varepsilon) \varepsilon / k$

**Not :**

$$\mu_{eff} = \mu + \mu_t = \mu + C_\mu \rho k^2 / \varepsilon$$

$$P = \mu_t \left[ 2 \left\{ \left( \frac{\partial u}{\partial x} \right)^2 + \left( \frac{\partial v}{\partial y} \right)^2 + \left( \frac{\partial w}{\partial z} \right)^2 \right\} + \left( \frac{\partial u}{\partial y} + \frac{\partial v}{\partial x} \right)^2 + \left( \frac{\partial w}{\partial x} + \frac{\partial u}{\partial z} \right)^2 + \left( \frac{\partial v}{\partial z} + \frac{\partial w}{\partial y} \right)^2 \right]$$

$$C_\mu = 0.09; C_{\varepsilon 1} = 1.44; C_{\varepsilon 2} = 1.92; \sigma_k = 1.0; \sigma_\varepsilon = 1.3$$

### 3.4 Logaritmik Duvar Fonksiyonları

Reynolds sayısı, akışkanın duvar ile temas eden kısımlarında azalmakta ve akış özelliklerinin değişimi, akışın diğer noktalarına oranla daha büyük değişiklikler göstermektedir. Bu etkiler duvar yakınılarında

- a) Duvar bölgesi için seçilmiş ve modifiye edilmiş türbülans modeli ile,
- b) Duvar yakınındaki akış karakteristiklerini tanımlayan duvar fonksiyonları yardımıyla

çözülebilir. Birinci metod fazla miktarda bilgisayar kapasitesi ve zaman gerektirdiğinden tercih edilmemektedir. Bu çalışmada, duvar fonksiyonları adı verilen ve duvar yakınında akış özelliklerindeki hızlı değişimleri veren yöntem uygulanmıştır. Pürüzsüz bir duvar üzerinde, tam gelişmiş türbülanslı bir sınır tabaka için boyutsuz mesafe  $y^+$

$$y^+ = \frac{\rho u_\tau y}{\mu} \quad (3.39)$$

olur.  $y$  duvardan olan dik uzaklık,  $u_\tau$  ise duvar kayma gerilmesinden ( $\tau_w$ ) çıkarılmış sürtünme hızıdır.

$$u_\tau = \left( \frac{\tau_w}{\rho} \right)^{1/2} \quad (3.40)$$

Duvar yakınında akışın özelliği  $y^+$  nin bulunduğu mesafeye göre aşağıdaki şekilde değişmektedir.

- a) Viskoz sınır tabakası  $y^+ \leq 5$  olan mesafeler için viskoz kuvvetleri etkilidir.
- b)  $5 < y^+ \leq 30$  aralığı geçiş tabakasıdır ki burada akışa viskoz kuvvetlerinin etkisi de türbülans etkisi de çok değildir.
- c)  $y^+ > 30$  mesafesi tam gelişmiş türbülanslı sınır tabaka kabul edilir.

Türbülans miktarları olan  $k$  ve  $\epsilon$  ile hızın, viskoz ve tam gelişmiş türbülanslı sınır tabakalarındaki değişimlerini incelemek gerekir.

### 3.4.1 Hız Dağılımı

Tam gelişmiş türbülanslı bölgede hız, aşağıdaki logaritmik duvar fonksiyonu ile belirlenir.

$$u^+ = \frac{1}{\kappa} \ln(Ey^+) \quad (3.41)$$

burada  $u^+$

$$u^+ = \frac{u}{u_\tau} \quad (3.42)$$

şeklindedir. Denklem (3.41) deki  $\kappa$  ve E deneyel sonuçlardan elde edilmiş sabitlerdir ve genel olarak sırasıyla 0.4187 ve 9.793 değerlerini alırlar. Viskoz sınır tabaka içinde tabakanın lineerliği kabul edilerek

$$u^+ = y^+ \quad (3.43)$$

alınabilir. Akış hesaplarında geçiş tabakası genellikle ihmal edilir ve viskoz sınır tabaka yüzeyi  $y^+=11.63$  'e uzatılır. Bu bölgede lineer hız profilleri, tam gelişmiş türbülanslı sınır tabaka içindeki logaritmik profillerle karşılaşır.

### 3.4.2 $k$ ve $\varepsilon$ Dağılımı

Sabit kayma gerilmesi kabulünün yapılabileceği duvara çok yakın bir bölgede oluşan tam gelişmiş türbülanslı tabakadaki enerji üretimi ve yayınımlı dengededir. Bu nedenle

$$\tau \approx \tau_w = \rho C_\mu^{1/2} k \quad (3.44)$$

şeklindedir. Denklem (3.40) ve (3.41) kullanılarak duvar kayma gerilmesi

$$\tau_w = \frac{\rho \kappa C_\mu^{1/4} u k^{1/2}}{\ln(Ey^+)} \quad (3.45)$$

olarak alınabilir. Türbülans kinetik enerji yayınımlı

$$\varepsilon = \frac{C_\mu^{3/4} k^{3/2}}{\kappa y} \quad (3.46)$$

denkleminden bulunabilir. (3.40) ve (3.44) denklemelerini birleştirerek  $y^+$  için

$$y^+ = \frac{\rho C_\mu^{1/4} k^{1/2} y}{\mu} \quad (3.47)$$

denklemi elde edilir. Denklem (3.46) dan duvara yakın olan kısımlardaki yayınım oranı hesaplanabilir.

### 3.5 Çözüm Yöntemi

#### 3.5.1 Ağ

Kısmi diferansiyel denklemlerin çözümlemelerinin sayısal olarak direkt bilgisayarlarla yapılması çok fazla zaman kaybı ve bilgisayar kapasitesi gerektirdiğinden bu tip problemlerde ağ sistemleri kullanılmaktadır. Bu yöntemle, hesaplama alanı veya hacmi belirli küçük parçalara bölünerek, her bir noktadaki sıcaklık, basınç hız vb. gibi değişiklikler belli bir doğruluk derecesinde çözülebilir. Bölünen alan ve hacimlerin boyutu hesaplama alanının her noktasında aynı olabileceği gibi, hız, basınç, sıcaklık gibi parametre değerlerinin kritik olduğu noktalarda ağ sayısı artırılabilir. Hesaplama alanında kullanılan ağ da dikdörtgen olabileceği gibi yüzeyin şekline göre farklı şekillerde olabilir. Ağ sistemlerinin çözülebilmesi için başlangıç ve sınır şartlarının bilinmesi veya hesaplanması gerekmektedir. Bilinenlerin kullanılması ile hesaplama alanındaki değerler değişik yöntemler (sonlu farklar, sonlu hacim vb.) kullanılarak bulunabilir.

Hesaplama alanında bulunması istenilen parametrelerin, her bir ağ aralığının sınırlarında veya ortasında olması durumu da çözüm yöntemine etki etmektedir. İstenilen hız değerlerinin ağın sınırlarında, basınç değerlerinin ağın ortasında tanımlanması ile oluşturulan ağ sistemine kaydırılmış ağ sistemi denir. Basınç ve hız değerlerinin ağın ortasında tanımlanması ise kaydırılmamış ağ sistemi olarak adlandırılır.

#### 3.5.2 Denklemlerin Ayrıklaştırılması

Hesaplama alanını ağ ile belirli hacimlere böldükten sonra, her bir kontrol hacmi üzerinde yönetici denklemleri (3.38) tansör şeklinde göstererek integralini alırsak denklemleri ayrılaştırabiliriz. Kontrol hacmi  $V_p$  yi göstermek üzere

$$\iiint_{V_p} \left[ \frac{\partial}{\partial x_i} \left( \rho u_i \phi - \Gamma_\phi \frac{\partial \phi}{\partial x_i} \right) \right] dV = \iiint_{V_p} S_\phi dV \quad (3.48)$$

şeklinde yazılabilir. Gauss diverjans teoremi uyarınca (3.48) denklemi yüzey integraline çevrilebilir. Böylece  $J_i$

$$\sum J_i = J_b + J_d + J_g + J_k + J_y + J_a \quad (3.49)$$

olmak üzere

$$\sum J_i = \iiint_{V_p} S_\phi dV \quad (3.50)$$

şeklinde yazılabilir. Denklem (3.49) da geçen  $J_b$ , Gauss diverjans teoremine göre iki boyuta indirgenmiş olan yüzey integralinden elde edilen değerdir ve ağın batı tarafındaki sınırlardan geçen akışı gösterir.

$$J_b = \iint_{S_b} \left( \rho u \phi - \Gamma_\phi \frac{\partial \phi}{\partial x} \right)_b ds \quad (3.51)$$

benzer şekilde  $J_d$  doğu,  $J_g$  güney,  $J_k$  kuzey,  $J_y$  yukarı ve  $J_a$  aşağıya doğru olan akışları temsil ederler.  $ds$  ise batı tarafındaki hücrenin alanıdır.  $J_b$  bir boyutlu akış analizi ile de elde edilebilir. Bu durumda tam çözüm

$$J_b = \rho_b u_b [ f_b \phi_B + (1-f_b) \phi_P ] S_b \quad (3.52)$$

$S_b$ , batı yüzünün alanıdır.  $\rho_b$  ve  $f_b$  ise sırasıyla

$$\rho_b = \frac{1}{2} (\rho_B + \rho_P) \quad (3.53)$$

$$f_b = \exp(Pe_b) / (\exp(Pe_b) - 1) \quad (3.54)$$

$Pe_b$  ağ içindeki her bir hücrenin Peclet sayısıdır ve

$$Pe_b = \rho_b u_b \left( \frac{\delta_x}{\Gamma_{\phi,BP}} \right) \quad (3.55)$$

Denklem (3.55) te geçen  $\delta_x$ , P ve B noktaları arasındaki mesafedir.  $\Gamma_{\phi,BP}$  ise

$$\Gamma_{\phi,BP} = \frac{1}{2} (\Gamma_{\phi,B} + \Gamma_{\phi,P}) \quad (3.56)$$

dir. Denklem (3.54) ün bilgisayarla hesabı uzun zaman gerektirdiğinden, ayrıklaştırma için sonlu farklar, hibrit ve power law gibi çeşitli yöntemler geliştirilmiştir. Bu çalışmada hibrit yöntemi uygulanmıştır. Bu yönteme göre

$$f_b = \frac{J_b}{\rho_b u_b S_b} = \begin{cases} \frac{1}{2} [(1 + 2Pe_b^{-1})\phi_b + (1 - 2Pe_b^{-1})\phi_p] & -2 < Pe_b < 2 \\ \phi_B & Pe_b > 2 \\ \phi_p & Pe_b < -2 \end{cases} \quad (3.57)$$

küçük Peclet sayıları için denklem (3.57) de merkezi farklar, büyük sayılarda ise upwind yöntemi kullanılır. İntegre edilen kaynak terimi lineer ve  $\phi$  nin bir fonksiyonu olarak yazılırsa

$$\iiint_{V_p} S_\phi dV = b\phi_p + c \quad (3.58)$$

elde edilir. Denklem (3.49) ve (3.58) in denklem (3.48) de kullanılması ile

$$J_b + J_d + J_g + J_k + J_y + J_a = (b\phi_p + c)\forall_p \quad (3.59)$$

$J$  değerlerinin açılımını denklem (3.59) da yaparak bunu düzenlersek

$$A_p\phi_p = A_B\phi_B + A_D\phi_D + A_G\phi_G + A_K\phi_K + A_Y\phi_Y + A_A\phi_A + C \quad (3.60)$$

veya sadeleşmiş gösterimiyle

$$A_p\phi_p = \sum_i A_i\phi_i + C \quad (3.61)$$

denklem (3.61) de geçen  $A_p$ ,  $A_i$  ve  $C$  skaler değerleri ( $k$  ve  $\epsilon$  gibi)

$$A_p = \sum_i A_i - b\forall_p \quad (3.62a)$$

$$A_i = \rho_i u_i S_i f_i \quad (3.62b)$$

$$C = c \forall_p \quad (3.62c)$$

şeklinde yazılabilir.  $S$ , kontrol hacmi yüzeyinin alanını göstermektedir.  $u$  yönündeki momentum denklemi de

$$A_p u_p = \sum_i A_i u_i + S_{eb}(P_B - P_p) + C \quad (3.63)$$

durumuna gelir.  $S_{eb}$  kontrol hacminin batı tarafındaki duvarının alanını göstermektedir.

### 3.5.3 Basınç ile Hız Arasındaki İlişki

Basıncın dışında, hız bileşenleri, türbülans değerleri ( $k$  ve  $\epsilon$ ) gibi bilinmeyen değişkenlerin kendilerine ait taşınım denklemleri vardır. Bunun sonucu olarak basıncı bulabilmek için SIMPLE algoritması Patankar (1980) tarafından geliştirilmiştir.

$p^*$  tahmini basınç alanından, hız alanı olan  $u^*$ ,  $u$  momentum denkleminin çözülmesi ile elde edilebilir.

$$A_p \dot{u}_p = A_B \dot{u}_B + A_D \dot{u}_D + A_G \dot{u}_G + A_K \dot{u}_K + A_Y \dot{u}_Y + A_A \dot{u}_A + A_{eb} (P_p^* - P_D^*) \quad (3.64)$$

$A_{eb}$ , batı tarafındaki hücre yüzünün alanıdır. Düzeltilmiş basınç

$$p = p^* + p^d \quad (3.65)$$

denklemi ile elde edilir.  $p^d$  basıncı, süreklilik denkleminden elde edilen basınç düzeltmesidir.  $u^d$  hız düzeltmesini,  $p^d$  basınç düzeltmesinin karşılığı olarak düşünürsek, düzeltilmiş  $u$  hızı

$$u = u^* + u^d \quad (3.66)$$

olur. (3.63) ve (3.64) deki denklemlerin, basınç hariç olmak üzere sağ taraflarındaki terimlerini ihmal edersek

$$u_p^d = \frac{A_{eb}}{A_p} (p_B^d - p_p^d) \quad (3.67)$$

$p_B^d$  ve  $p_p^d$ , B ve P noktalarındaki hız düzeltmeleridir. Burada kontrol hacminin ortasındaki hız düzeltmelerinin yüzeydeki ile aynı olduğu kabul edilerek

$$u_b^d = u_p^d = D_{eb} (p_B^d - p_p^d) \quad (3.68)$$

yazılabilir. denklemde geçen  $D_{eb}$

$$D_{eb} = A_{eb} / A_P \quad (3.69)$$

şeklindedir. Benzer şekilde diğer hız bileşenlerinin düzeltmeleri de

$$v_g^d = v_p^d = D_{kg} (p_G^d - p_p^d) \quad (3.70a)$$

$$w_y^d = w_p^d = D_{ya} (p_Y^d - p_p^d) \quad (3.70b)$$

denklemde geçen  $D_{kg}$  ve  $D_{ya}$  sırasıyla

$$D_{kg} = A_{kg} / A_P \quad (3.71a)$$

$$D_{ya} = A_{ya} / A_P \quad (3.71b)$$

göstermektedir. Yukarıda bahsedilen bağıntılar, ayrılaştırılmış süreklilik denkleminde kullanılabilir. Bu durumda basınç düzeltmesi

$$A_p p_p^d = A_D p_D^d + A_B p_B^d + A_G p_G^d + A_K p_K^d + A_Y p_Y^d + M_p \quad (3.72)$$

burada örnek olarak göstermek gerekirse

$$A_D = \rho_D A_{db} D_{db} \quad (3.73)$$

$A_P$  ve  $M_p$  ise sırasıyla

$$A_p = \sum_i A_i \quad (3.74)$$

$$M_p = (\rho_d u_d^* A_{db} - \rho_b u_b^* A_{db}) + (\rho_k v_k^* A_{kg} - \rho_g v_g^* A_{kg}) + (\rho_a w_a^* A_{ya} - \rho_y w_y^* A_{ya}) \quad (3.75)$$

şeklindedir.

İteratif çözüm şekli aşağıdaki sırayla yapılır:

- Bir önceki basınç alanından basınç alanını tahmin et (ilk iterasyonda sıfır alınan basınç hariç).
- Hız alanını bulmak için momentum denklemini çöz
- Basınç düzeltme denklemini (denklem 3.72) çöz
- Basınç ve hız değerlerini düzelt
- Diğer değişkenler için denklemleri çöz.

### 3.6 Sınır Şartları

Yapılan çalışmada egzos kanalının çıkışında eksenel hız sabit ve 8.5 m/s olarak alınmıştır. Diğer iki hız bileşeni sıfırdır. Serbest akımın gerçekleştiği sınırlarda sabit basınç sınır şartı kullanılmış, bu sınırlardaki basınç ve türbülans kinetik enerjisi sıfır

alınmıştır. Simetri düzlemlerde, düzleme dik olan hız bileşenleri ve diğer değişkenlerin türevleri sıfırdır.

Bölüm 3.4'te bahsedildiği gibi yapılan çalışmada logaritmik duvar fonksiyonları uygulanmıştır. Duvar bölgesi etkisinin hesaba katılabilmesi için denklem 3.60'da mevcut katsayıların modifiye edilmesi gereklidir. Bu, mevcut katsayının sıfır eşitlenmesi ve sınır şartlarının kaynak terimi üzerinden verilmesi ile olur.

### 3.6.1 Hız

Duvara dik olan hız bileşenleri sıfırdır ve bu nedenle ayrıca bir işleme gerek yoktur. Ancak hız bileşenlerinin duvara paralel olan kısımlarında hız bileşenlerinin sıfır olmaması bu bölgelerde duvar kayma gerilmelerini oluşturur. Duvara yakın olan bir P noktası alırsak ve buradaki mesafenin  $y_p^+ > 11.63$  olması durumunda duvar kayma gerilmesinden kaynaklanan  $\tau_w$  kuvveti

$$F_w = \tau_w \Delta S_w = -\rho C_\mu^{1/4} k_p^{1/4} u_p \kappa \frac{\Delta S_w}{\ln(Ey_p^+)} \quad (3.76)$$

$\Delta S_w$ , kontrol hacmi yüzey alanı,  $u_p$  ise duvara paralel olan hız bileşenidir. P noktası viskoz sınır tabaka içinde düşünülürse ( $y_p^+ \leq 11.63$ ) bu durumda

$$F_w = \tau_w \Delta S_w = \mu u_p \Delta S_w / y_p^+ \quad (3.77)$$

şeklinde hesaplanır.

### 3.6.2 Türbülans Kinetik Enerji

Denklem 3.35'teki terim denklem 3.78'e bağlı olarak modifiye edilir.

$$\iiint_{V_p} \mu \frac{\partial u_i}{\partial x_j} \left( \frac{\partial u_i}{\partial x_j} + \frac{\partial u_j}{\partial x_i} \right) dV = \frac{\tau_{w,i} u_{i,p} V_p}{y_p} \quad (3.78)$$

Denklemde geçen  $V_p$  hücrenin hacmi,  $\tau_{w,i}$ ,  $u_{i,p}$  de kayma gerilimi ve teğetsel hızlardır. Tablo 3.1'deki  $\Gamma_\phi$  yayınım değeri

$$\iiint_{V_p} \rho \varepsilon dV = -\rho C_\mu^{3/4} k_p^{3/2} u^+ V_p / y_p \quad (3.79)$$

şeklinde modifiye edilebilir.

### 3.6.3 Tûrbülans Kinetik Enerjinin Yayınlımı

Denklem 3.46'da verilen tûrbülans kinetik enerjinin yayınımlı denklemini ( $\varepsilon$ ) P noktası için yazarsak

$$\varepsilon_p = \frac{C_\mu^{3/4} k_p^{3/2}}{\kappa y_p} \quad (3.80)$$

Duvar kontrol hacmi içinde alınan  $\varepsilon$  değeri  $c = \varepsilon_p \times M$  ve  $b = -M$  alınarak  $\varepsilon_p$  değerine sabitlenmiştir. M, ayrıklaştırma denklemelerindeki diğer terimleri ihmali edebilmemizi sağlayacak kadar büyük seçilmiştir. Böylece

$$c+b \phi_p \approx 0 \quad (3.81a)$$

$$\phi_p = -c/b = \phi_{p,\text{istenen}} = \varepsilon_p \quad (3.81b)$$

elde edilir.

## 3.7 Cebrik Denklem Sistemlerinin Çözümü (TDMA)

Her bir düzlemede çözüm, kolon-kolon (line by line) ve TDMA yöntemi kullanılarak elde edilmiştir. Yöntem, çözüm alanı içinde ve ağı çizgileri boyunca farklı yönlerden uygulanır. Örnek olarak x-y düzleme için çözüm yapıılırken kuzey-güney ve doğu-batı hatları dikkate alınır. Kuzey-güney için ayrıklaştırma denklemi

$$A_p \phi_p = A_K \phi_K + A_G \phi_G + [A_B \phi_B + A_D \phi_D + A_Y \phi_Y + A_A \phi_A + C] \quad (3.82)$$

Parantez içindeki terimleri geçici olarak bildiğimizi kabul edersek,  $\phi$  değeri kuzey-güney doğrultusunda TDMA ile bulunabilir. Bu bütün kuzey-güney hattı boyunca tekrarlanır. Doğu-batı hattı boyunca çözüm için denklem

$$A_p \phi_p = A_B \phi_B + A_D \phi_D + [A_G \phi_G + A_K \phi_K + A_Y \phi_Y + A_A \phi_A + C] \quad (3.83)$$

şeklindedir. Hesaplama boyunca en son hesaplanan değerler (3.82) ve (3.83) denklemelerinin sağ tarafında yer alırlar. Denklem 3.82

$$D_j \phi_j = A_j \phi_{j+1} + B_j \phi_{j-1} + C_j \quad (3.84)$$

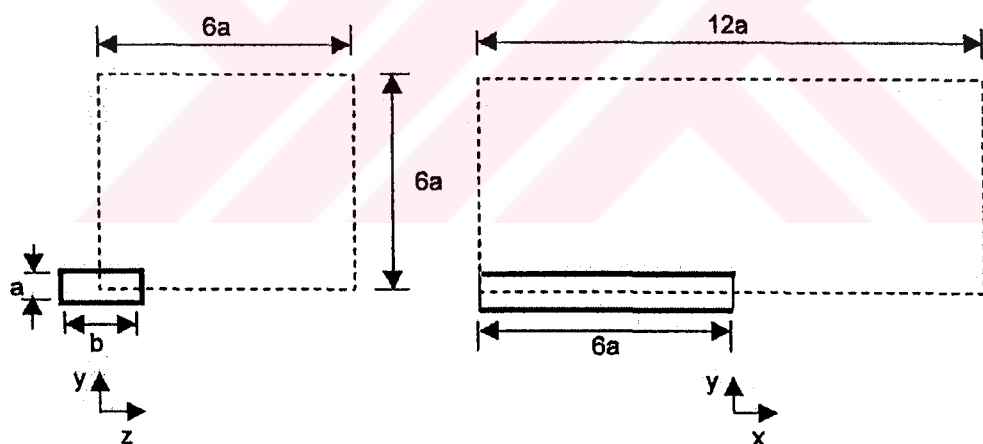
şeklinde yazılabilir. Denklemde geçen  $D_j = A_p$ ,  $A_j = A_K$ ,  $B_j = A_G$ ' yi  $C_j$  de köşeli parantez içindeki terimleri göstermektedir.

### 3.8 Bilgisayar Programı

Ayrıklaştırılmış denklem sistemlerinin çözümünde Phoenix bilgisayar programı kullanılmıştır. Program, sonlu hacim metodu yardımıyla elde ettiği cebrik denklem sistemlerini TDMA ile çözmekte ve istenen noktalardaki hız, basınç ve türbülans değerlerini bulmaktadır.

### 3.9 Hesaplama Alanı ve Eksen Sistemi

Hesaplama alanı ve eksen sistemi şekil 3.3 te gösterildiği gibidir. Hesaplama alanı, flanşsız dikdörtgen egzos ağzının emişe engel olabilecek sınırlardan etkilenmemesi için kanalın yanlarına doğru  $6a$ , eksenel yönde ise  $12a$  olarak seçilmiştir. Dikdörtgen flanşsız egzos ağzının içten ölçülen yüksekliği  $0.1\text{ m}$  ( $a$ ), genişliği ise  $0.2\text{ m}'dir$ . Egzos kanalının kalınlığı ise  $10\text{ mm}'dir$ .



Şekil 3.3 Hesaplama Alanı ve Eksen Sistemi

### 3.9.2 Kullanılan Ağ

$x$ ,  $y$  ve  $z$  yönlerinde, egzos ağzı çevresinde daha fazla olmak üzere, sıklığı yerine göre değişen ağ kullanılmıştır. Maksimum ağ büyütüğü bilgisayar kapasitesinden dolayı sınırlıdır. En küçük ağ boyutu da problemin geometrisinden dolayı sınırlanmıştır. Ağ büyütüğünün problemin çözümüne etkisini görmek için

değişik ağ büyülüklükleri kullanılmış, elde edilen sonuçlar birbirleriyle karşılaştırılarak uygun ağ büyülüğüne karar verilmiştir.

Hesaplamalar x,y ve z yönlerinde  $57 \times 21 \times 25$  boyutlu ağ kullanılarak yapılmış, egzos ağızı çevresinde ağ noktaları daha sık seçilmiş ve hesaplamalar buna göre yapılmıştır.

### 3.9.3 Yakınsaklık Kriteri

Aşağıdaki kriterin sağlanması durumunda çözümün yakınsadığı kabul edilmiştir:

$$\sum_{\text{tüm noktalarda}} |R_\phi| < R_{\phi,\text{ref}} \quad (3.85)$$

$R_{\phi,\text{ref}}$  referans değeri,  $R_\phi$  ise (3.60) taki denklemin kullanılması ile elde edilen kaynak terimdir. Bu çalışmada  $R_{\phi,\text{ref}} 10^{-3}$  olarak seçilmiştir. Yukarıdaki kritere ek olarak ağın her bir noktasında hesaplanan değişkenlerin sabit bir değere ulaşıp ulaşmadıkları (iterasyonda sadece küçük değişiklikler göstermesi durumu) kontrol edilmiştir.

### 3.9.4 Under-Relaxation Faktörleri

Elde edilen çözümün stabilitesini arttırmak için basınç hariç tüm değişkenlerde under-relaxation faktörleri uygulanmıştır. Çözümde hız bileşenleri, türbülans enerji ve yayırım oranı için relaxation faktörleri 0.5 olarak seçilmiştir (Ergin,1993). Ancak under-relaxation faktörlerini belirlemek için genel bir kural veya belirli bir deneysel sonuç yoktur. Under-relaxation'ı belirleyen optimum değerler, problemin doğasına, ağ büyülüğüne ve uygulanan yönteme bağlı olarak değişmektedir.

## **4. SONUÇLAR VE TARTIŞMA**

### **4.1 Giriş**

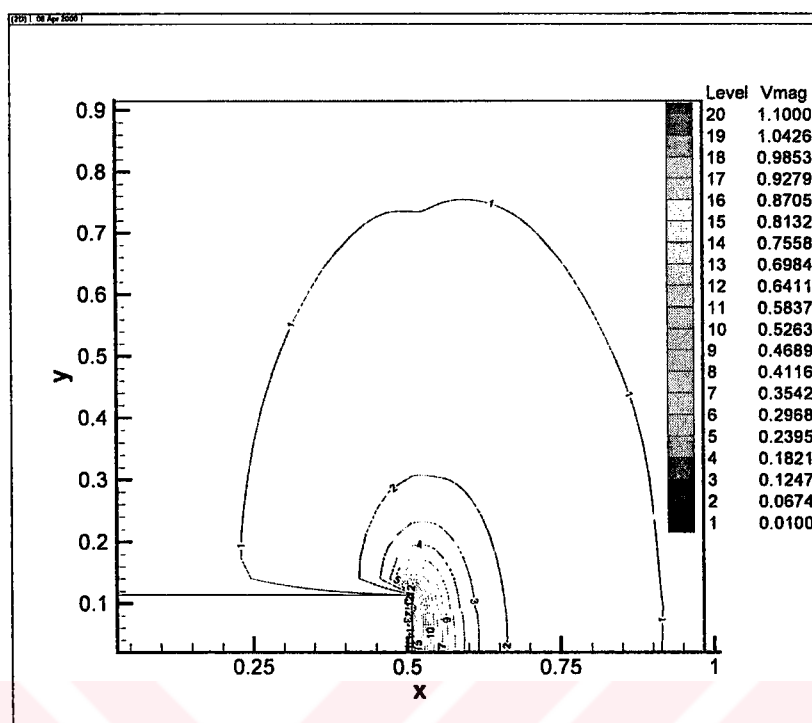
Bu bölümde dikdörtgen flanssız egzos ağızı etrafında farklı x-y ve x-z düzlemlerindeki boyutsuz hız, türbülans alanları ve akım çizgileri sunulmuş ve tartışılmıştır. Elde edilen sonuçlar önceden yapılmış deneysel ve teorik çalışmalarla karşılaştırılmıştır. Hesaplanan değerlerin önceki çalışmalarla iyi bir uyum içinde olduğu gözlenmiştir.

### **4.2 Hız Alanları**

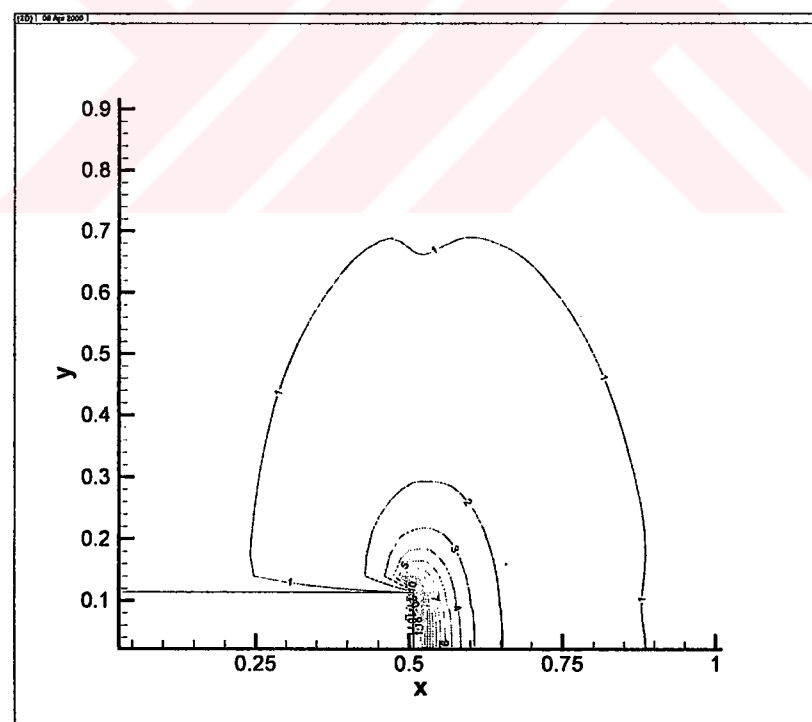
#### **a) x-y Düzleminde Hız Alanları**

Şekil 4.1a-4.1e x-y düzlemindeki hız alanlarını göstermektedir. Hızlar boyutsuz olarak x-y düzlemlerinde gösterilmiştir. Şekil 4.1a'da boyutsuz olarak hesaplanmış hız alanlarının en büyük değerlerini  $z/6a=0.002$  ekseninde aldığı görülmektedir.  $y=0.19-0.12$  arasında yani ağızin üst kısımlarına yakın yerlerde daha yüksek hızların bulunduğu görülmektedir. Ağızin hemen önünden başlayarak x değerleri arttıkça hızlarda büyük bir düşme gözlenmekte  $x=0.56$  civarından sonra boyutsuz hızlar yaklaşık olarak 0.30 değerini almaktadır. Şekil 4.1b'de ( $z/6a=0.1$ ) hız alanları çok büyük değişiklikler göstermemekle beraber yakalama hızı azalmaktadır.

(a)  $z/6a=0.002$

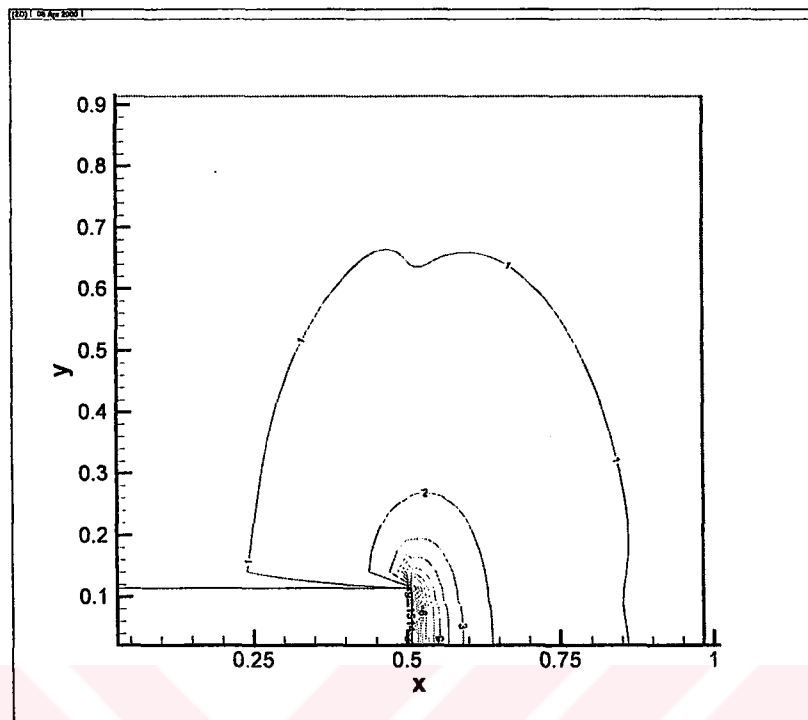


(b)  $z/6a=0.1$

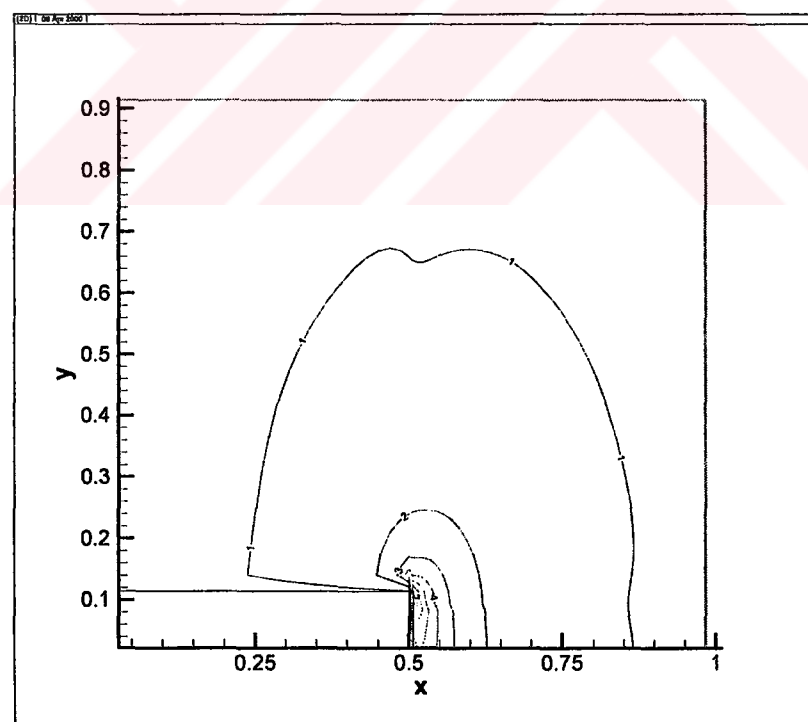


Şekil 4.1 Değişik x-y düzlemlerinde hız alanları

(c)  $z/6a=0.167$

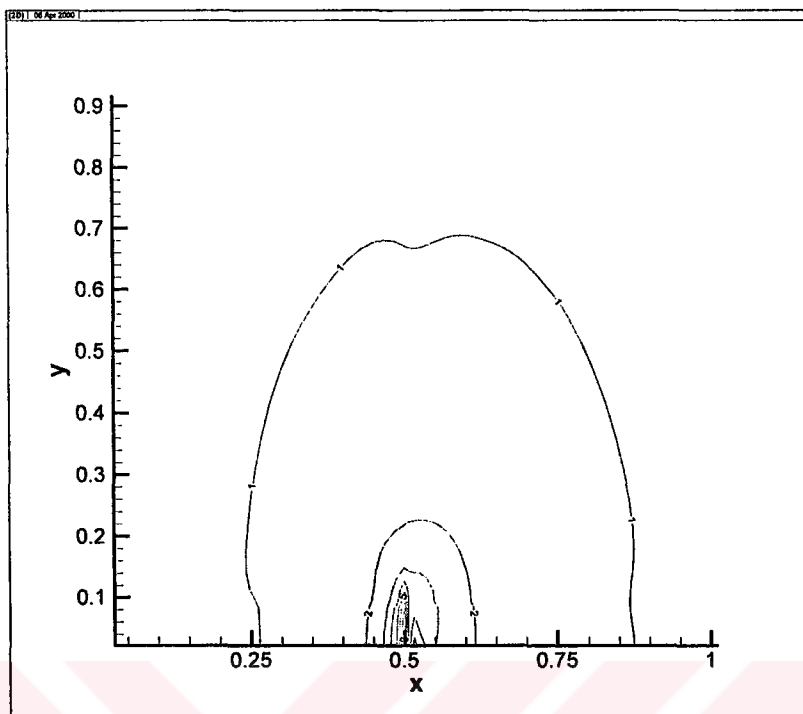


(d)  $z/6a=0.194$



Şekil 4.1 Devam

(e)  $z/6a=0.219$



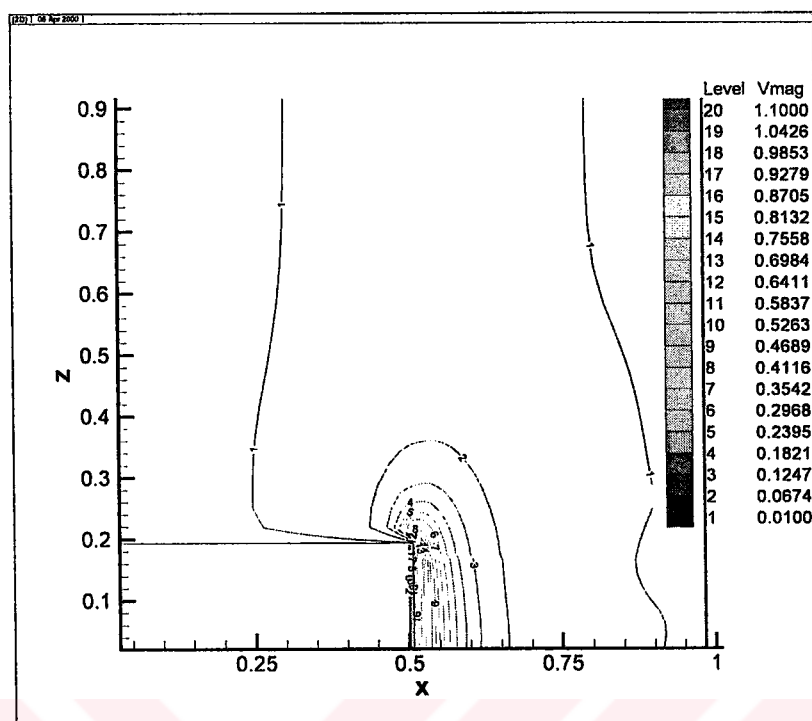
Şekil 4.1 Devam

Şekil 4.1c'de ( $z/6a=0.167$ ) egzos ağızının üst kısmına yakın bölgelerde ( $y=0.07-0.09$ ) yüksek hız gözlenmekte  $x$  arttıkça hız oranları  $x=0.51-0.52$  arasında ani bir düşme ile hızlar 0.60 civarlarına inmektedir.. Egzos kanalının yan duvarı olan  $z/6a=0.194$  ekseninde (şekil 4.1d) hızların  $x=0.52$  civarında 0.30 olduğu bu noktadan itibaren azalarak  $x=0.54$  noktasında 0.18'e düşüğü görülmektedir. Egzos ağızının dışına karşılık gelen  $z/6a=0.219$  ekseninde (şekil 4.1e) ise hızların  $x=0.48-0.5$  arasında 0.18-0.41 arasında değiştiği,  $x=0.47-0.44$  ve  $x=0.5-0.61$  arasında azalarak 0.06 civarına düşüğü görülmektedir.

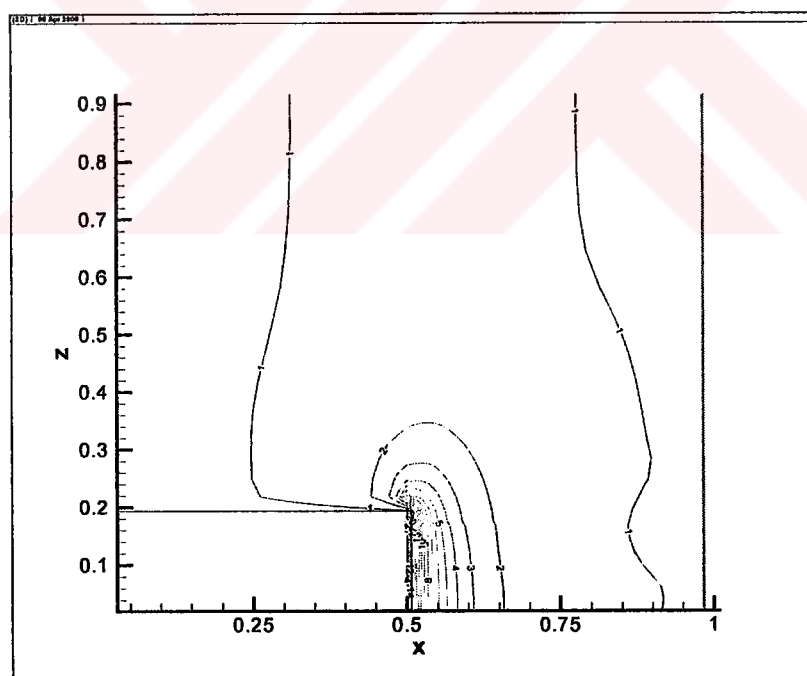
### b) x-z Düzleminde Hız Alanları

Şekil 4.2a-4.2e x-z düzlemindeki hız alanlarını göstermektedir. Hızlar boyutsuz olarak x-z düzlemlerinde gösterilmiştir.. Şekil 4.2a'da görüldüğü gibi hızlar en büyük değerlerini  $y/6a=0.0208$  ekseninde görülmektedir. Ağızın kenarlarında ( $z=0.15-0.18$ ) yüksek hızlar görülmektedir.  $x=0.51$ 'den itibaren hızlar azalmaya başlayarak  $x=0.54$ 'te 0.41'e düşmektedir. Şekil 4.2b'de ( $y/6a=0.0833$ ) ekseninde 0.1-0.98'e varan yüksek hızlar görülmemekle birlikte  $z=0.17$  civarında %87'ye ulaşan küçük bir nokta gözlenmektedir.  $x=0.5-0.52$  arasındaki hızlar %74-42 arasında değişmektedir. Şekil 4.2c'de ( $y/6a=0.0932$ ) ise yüksek hızlar egzos ağızının önünde görülmektedir. Bu eksende en yüksek hız değerleri  $x=0.51$  civarlarındadır. Bunun hemen dışında  $x=0.51-0.55$  arasında azalarak 0.23'e düşmektedir.

(a)  $y/6a=0.0208$

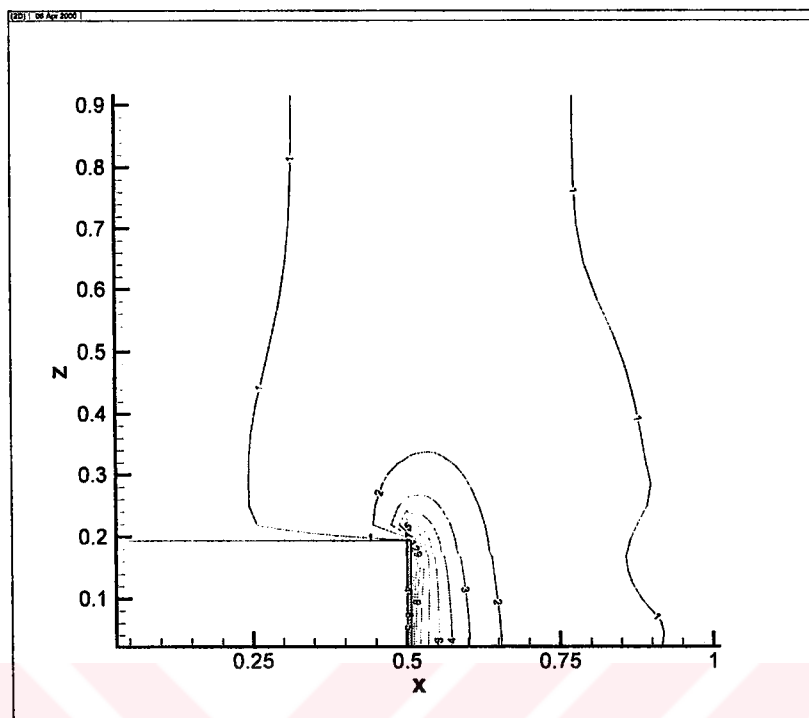


(b)  $y/6a=0.0833$

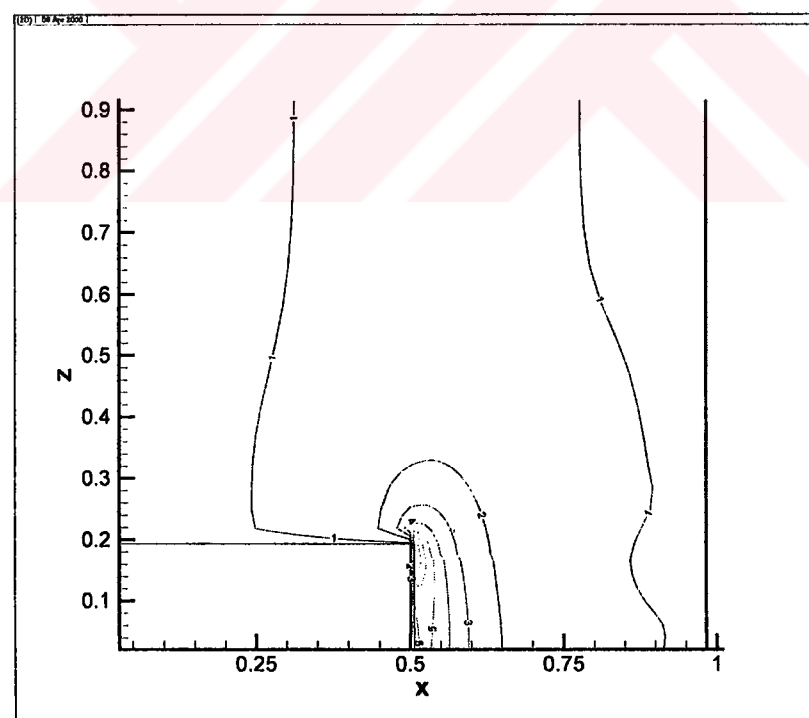


Şekil 4.2 Değişik x-z düzlemlerinde hız alanları

(c)  $y/6a=0.0932$

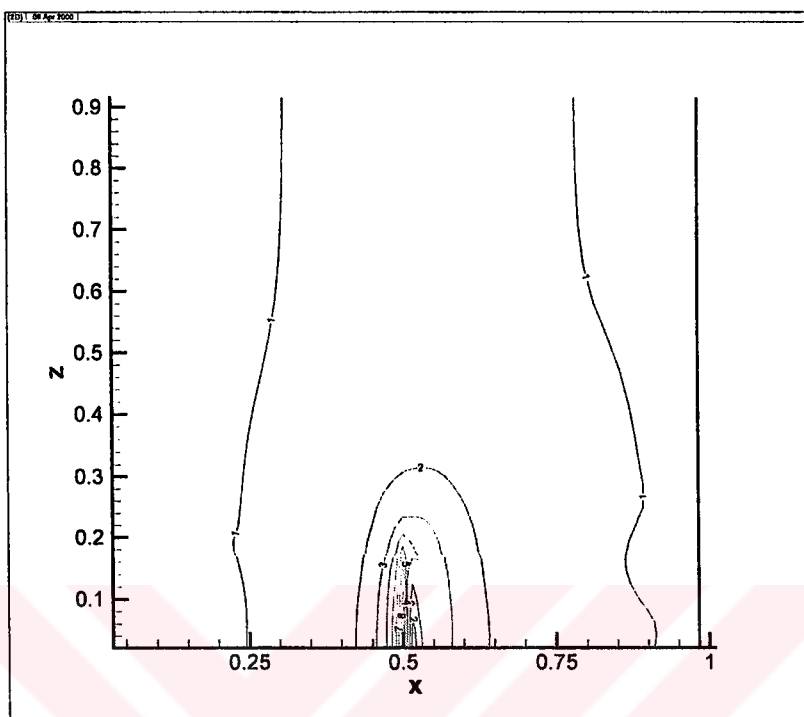


(d)  $y/6a=0.113$



Şekil 4.2 Devam

(e)  $y/6a=0.14$



Şekil 4.2 Devam

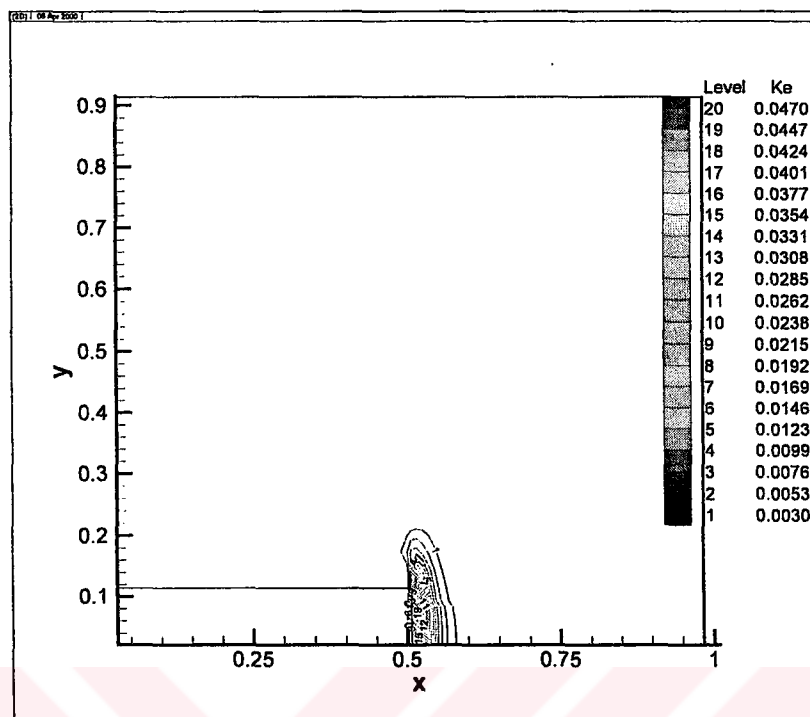
Egzos ağızının üst sınırı olan şekil 4.2d'de ( $y/6a=0.113$ )  $x=0.5-0.53$  ve  $z=0.18$  civarlarında hızlar 0.23-0.35 arasında değişmekte bu noktadan sonra azalarak 0.18'e düşmektedir. Şekil 4.2e'de ( $y/6a=0.14$ ) ise hızların 0.29-0.41 arasında değiştiği aralık  $x=0.49-0.5$  olduğu araliktır. Bunun dışındaki bölgelerde hızlar gittikçe azalarak 0.01 seviyesine inmektedir.

#### 4.3 Türbülans Dağılımı

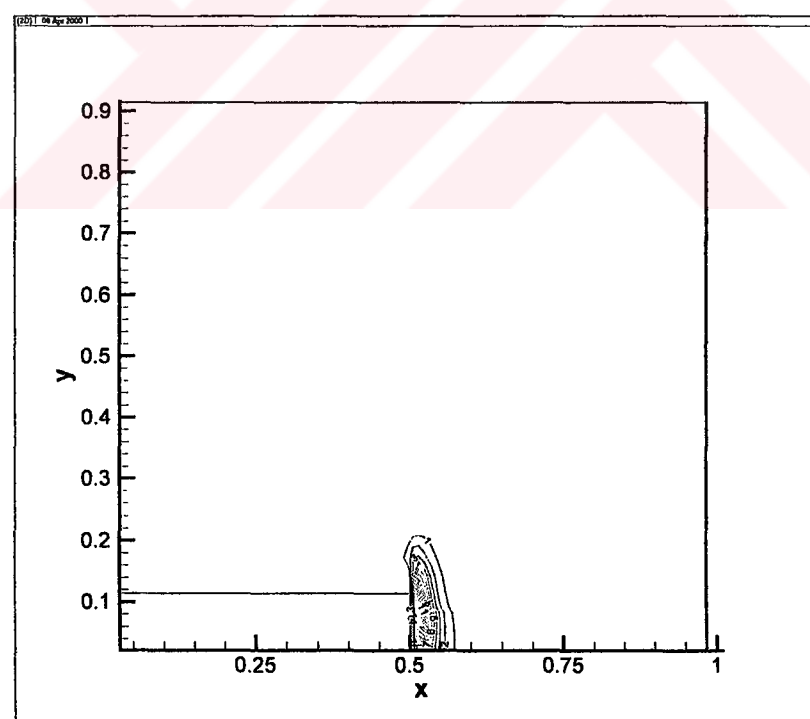
##### a) x-y Düzleminde Türbülans Dağılımı

Şekil 4.3a-4.3e, x-y düzleminde boyutsuz türbülans dağılımını göstermektedir. Şekil 4.3a'da türbülans değerleri en yüksek değerlerine ulaşmaktadır. Şekilden de görülebileceği gibi türbülans, egzos ağızının simetrik yarısının ortasında en yüksek değerlerini almaktadır. Egzos ağızı girişinden itibaren ( $x=0.5$ )  $x=0.52$  noktasına kadar türbülans %4.5 civarlarında olmaktadır. Bu noktadan itibaren hızlı bir azalma ile  $x=0.53$  noktasında %2 değerine inmektedir.

(a)  $z/6a=0.002$

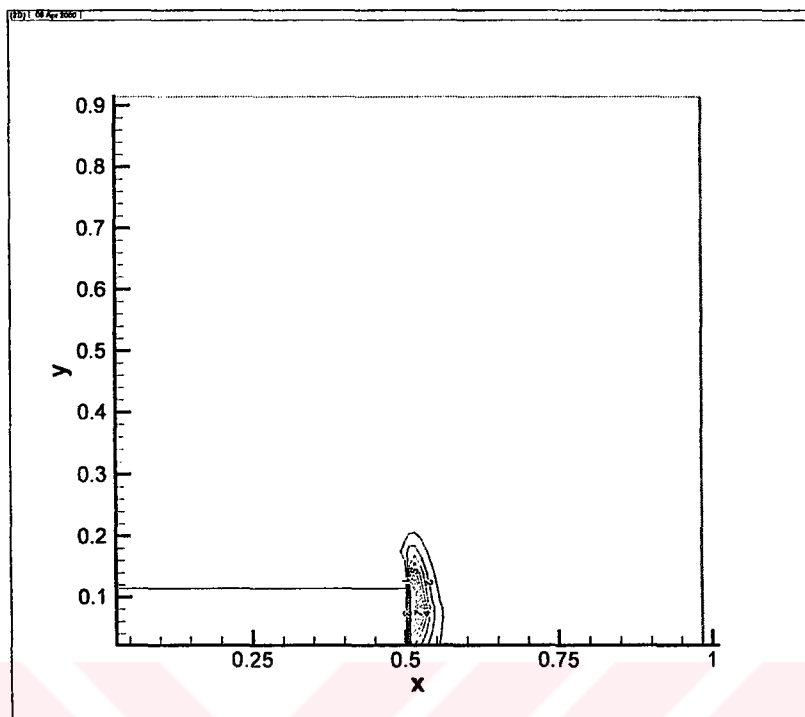


(b)  $z/6a=0.006$

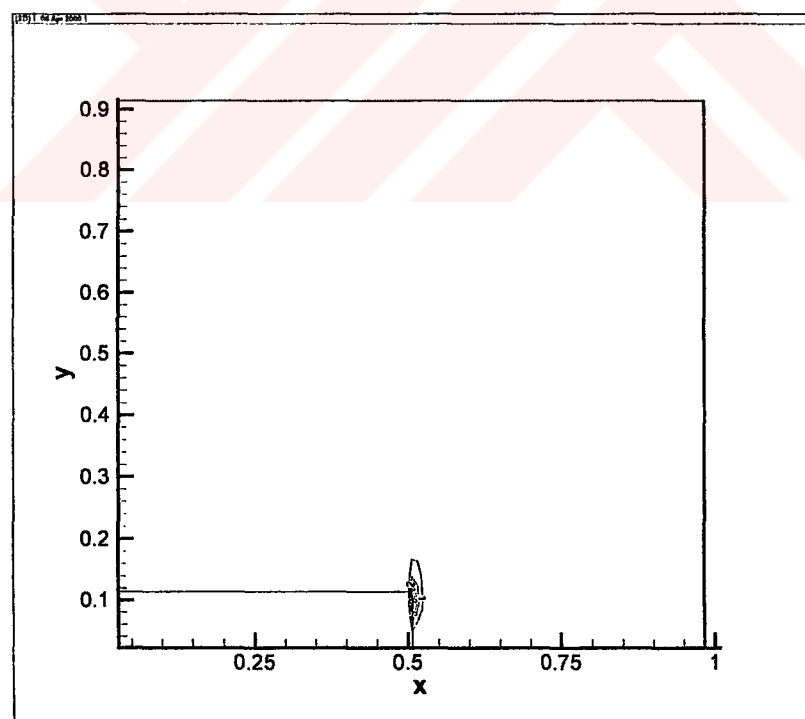


Şekil 4.3 Değişik x-y düzlemlerinde türbülans dağılımı

(c)  $z/6a=0.008$

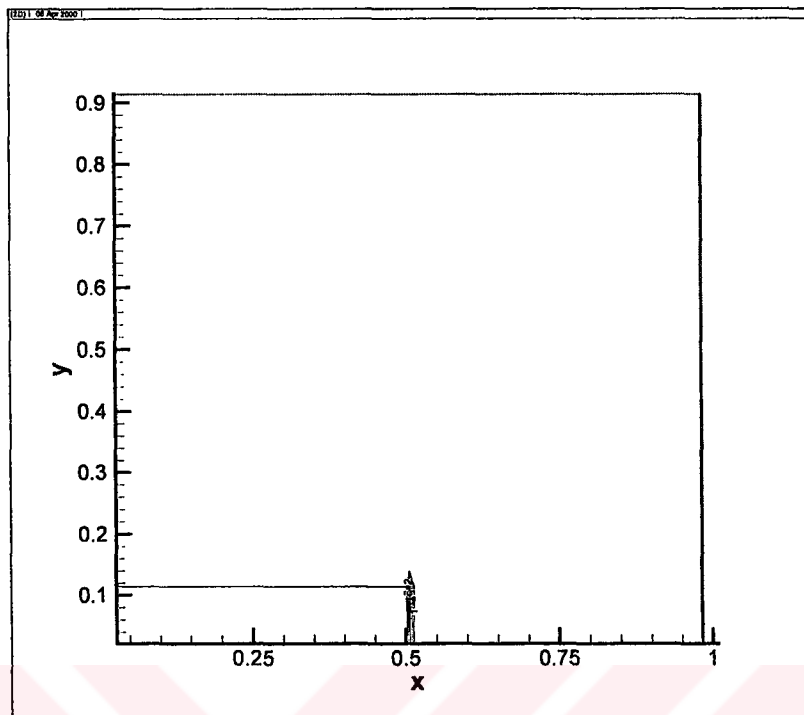


(d)  $z/6a=0.12$



Şekil 4.3 Devam

(e)  $z/6a=0.167$



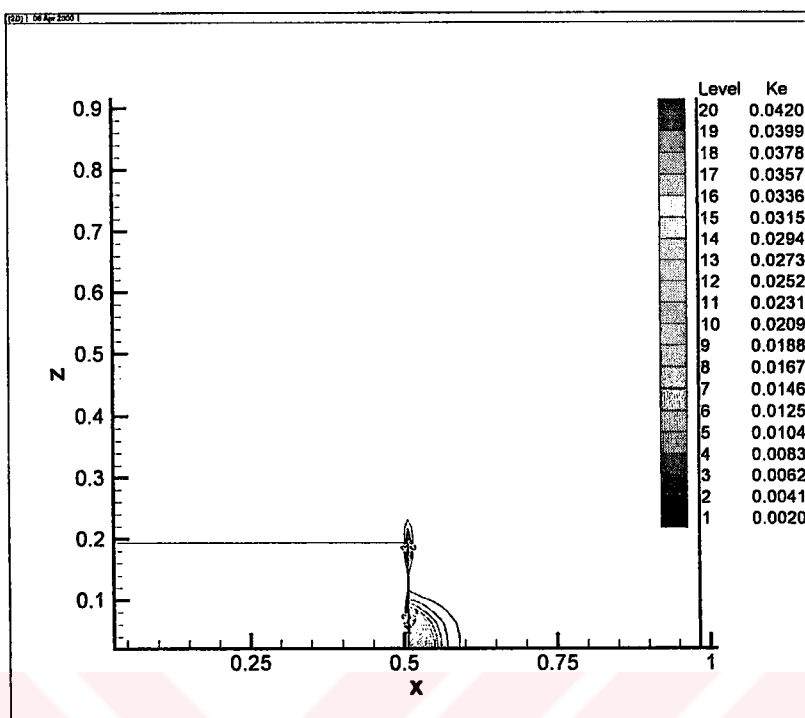
Şekil 4.3 Devam

Örneğin şekil 4.3b'de en büyük türbülans değeri simetrik emiş ağızının tam ortasında ve 0.042 civarındadır. Bu değerler 4.3c'de aynı noktalarda 0.023 civarında olmaktadır. Şekil 4.3d'de ( $z/6a=0.12$ ) ise türbülans artık hemen hemen görülmemekte, egzos ağızının üst tarafında ( $y=0.1$ ) türbülansı 0.015 olan değerler okunmaktadır. Şekil 4.3e'de türbülans değerleri çok küçük olmakla beraber bunlar tüm ağıza yayılmıştır ve değerleri en yüksek olan bölgede 0.015 dolaylarındadır.

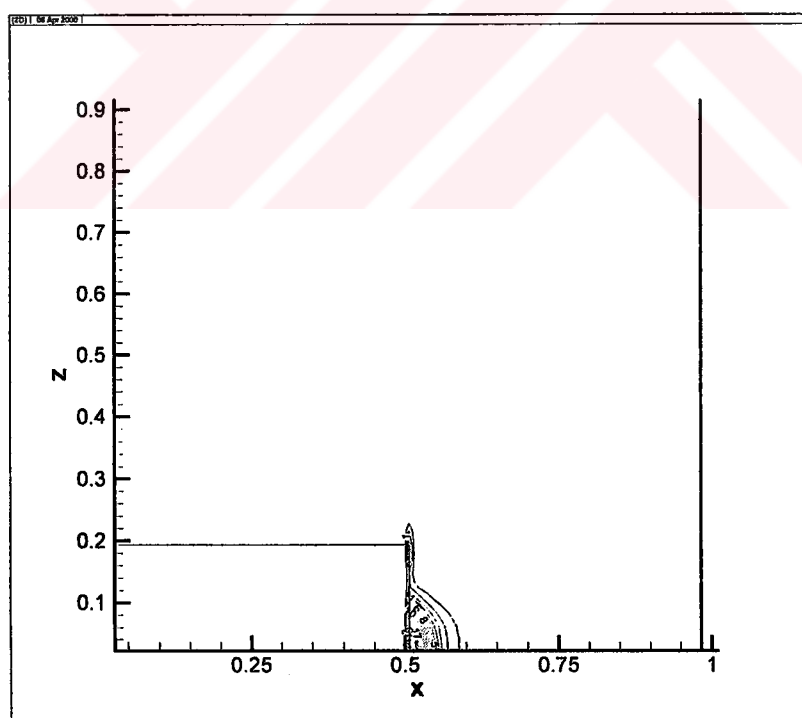
#### b) x-z Düzleminde Türbülans Dağılımı

Şekil 4.4a-4.4d x-z eksenindeki türbülans dağılımlarını göstermektedir. Bu düzlemede türbülans değerleri gene düşük olmakla beraber 4.4a'daki şekilde türbülansın daha çok egzos ağızının ortasında ve kenarlarında olduğu görülmektedir. En yüksek değer ise ağızın ortasında olduğu ve bu değerin 0.042 civarında olduğu gözlenmektedir. Şekil 4.4b'de ise gene ağızın ortasında 0.04'e varan türbülans değerleri görülmekte, ağızın kenarlarına yakın bölgelerde ( $z=0.17-0.2$ ) ise en yüksek değerler 0.015 civarlarındadır. Ağızda ön yüzünde orta kısmı ve kenarlar dışında da bir türbülans yayılımı söz konusudur. Egzos ağızının üst kesitlerine doğru çıkıştıkça türbülans değerlerinde bir düşme buna karşılık ağız boyunca bir yayılma görülmektedir.

(a)  $y/6a=0.0208$

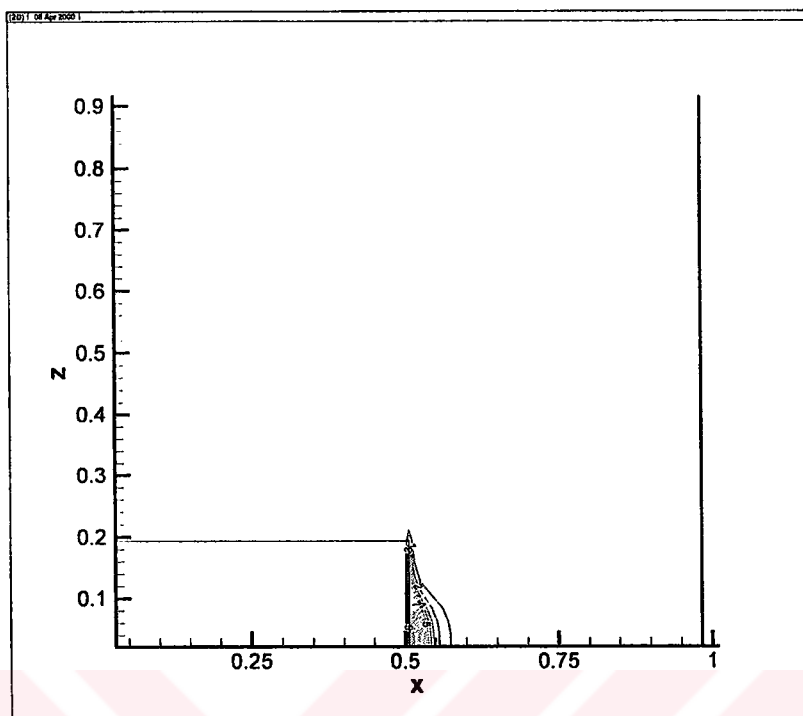


(b)  $y/6a=0.0625$

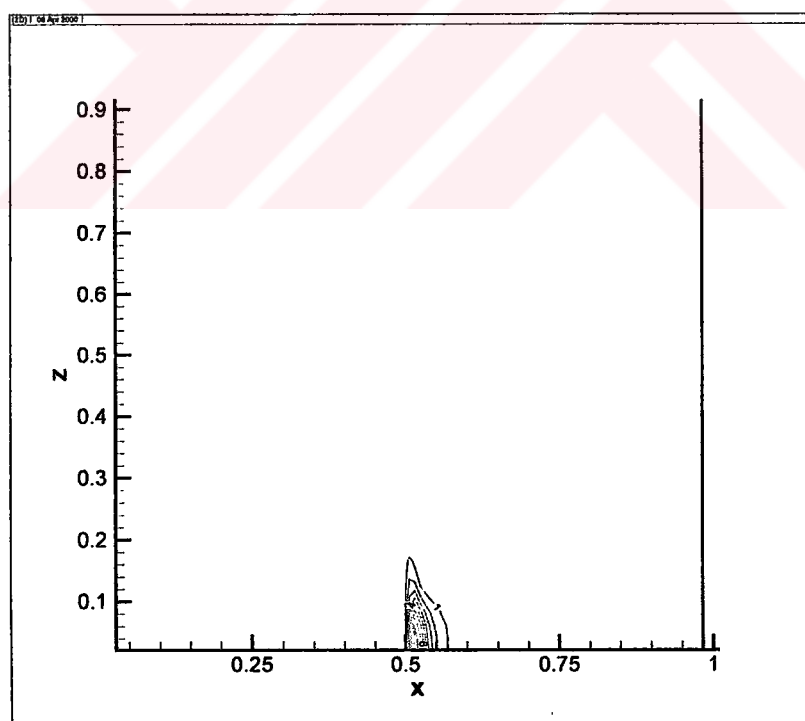


Şekil 4.4 Değişik x-z düzlemlerinde türbülans dağılımı

(c)  $y/6a=0.113$



(d)  $y/6a=0.14$



Şekil 4.4 Devam

Şekil 4.4c ağızın tam üst sınırını göstermektedir. Türbülans değerleri ağızın orta noktasında düşmüş ve  $x=0.51$  civarında en yüksek değeri almış (0.029), daha sonra du değerler ağız girişine doğru ( $x<0.51$ ) ve ağızdan uzaklaşıkça ( $x>0.51$ )

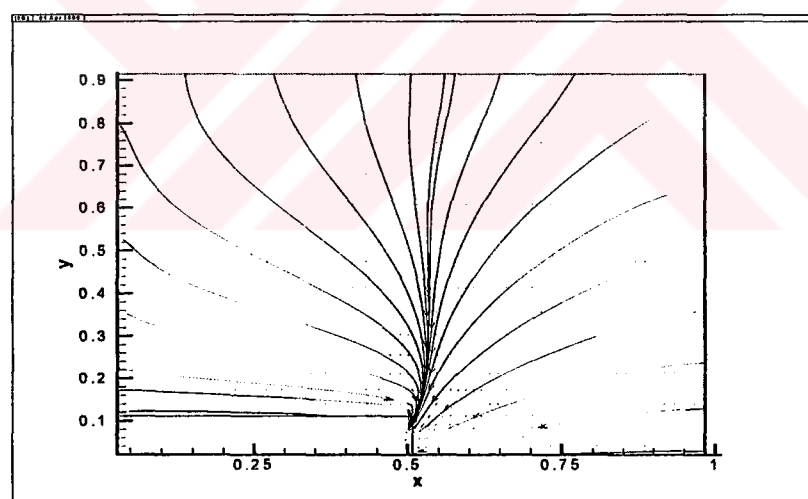
değerlerinde azalmaktadır. Ağızın yukarısına karşılık gelen şekil 4.4d'de ise en yüksek değer  $x=0.51$  noktasındaki 0.01.6 değeridir. Bu noktanın sağ ve soluna doğru değerler gittikçe azalmaktadır.

#### 4.4 Akım Çizgileri

##### a) x-y Düzleminde Akım Çizgileri

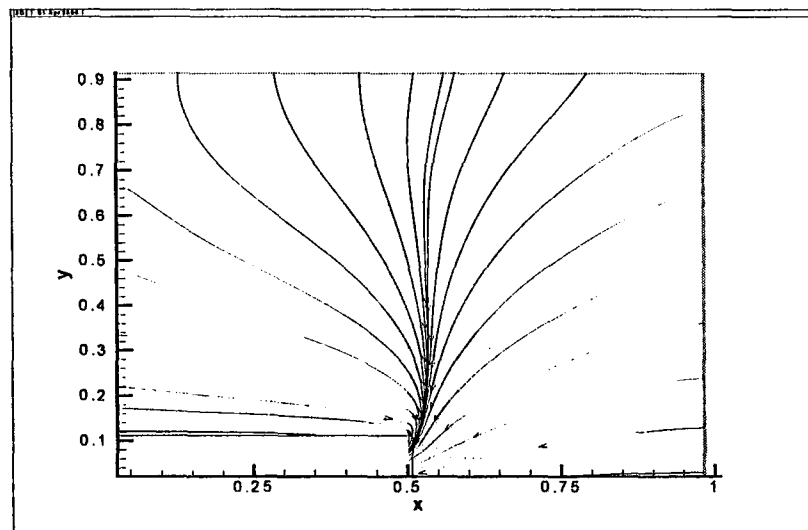
Şekil 4.5a-4.5f x-y düzlemindeki akım çizgilerini göstermektedir. Şekilden de görüleceği gibi hava egzos ağızına doğru her yönden düzgün bir şekilde gelmekte ve bu şekil 4.5a ( $z/6a=0.02$ ) ile şekil 4.5b ( $z/6a=0.194$ ) arasında çok büyük bir değişikliğe uğramadan olmaktadır. Ancak egzos kanalının olmadığı Şekil 4.5c'de egzos ağızının etkisi sebebiyle  $x<0.5$  olduğu noktalarda akışta bir bozulma söz konusudur. Ayrıca akışın yönlendiği  $X=0.5$  civarındaki odaklanmada bir dalgalanma görülmektedir.

(a)  $z/6a=0.004$

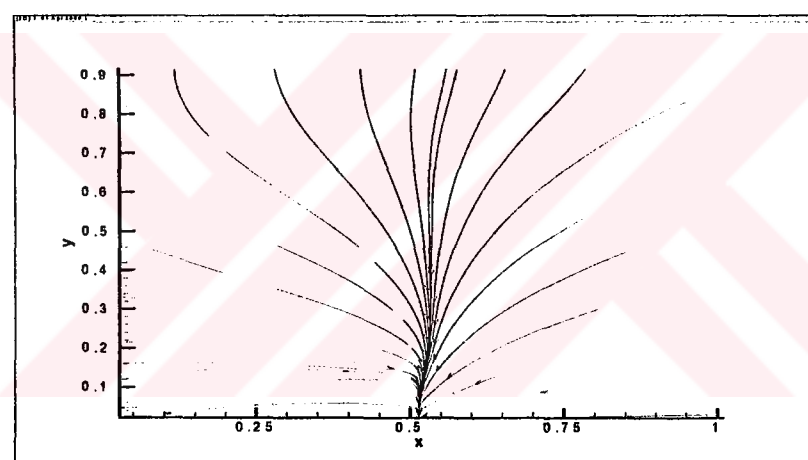


Şekil 4.5 Değişik x-y düzlemlerinde akım çizgileri

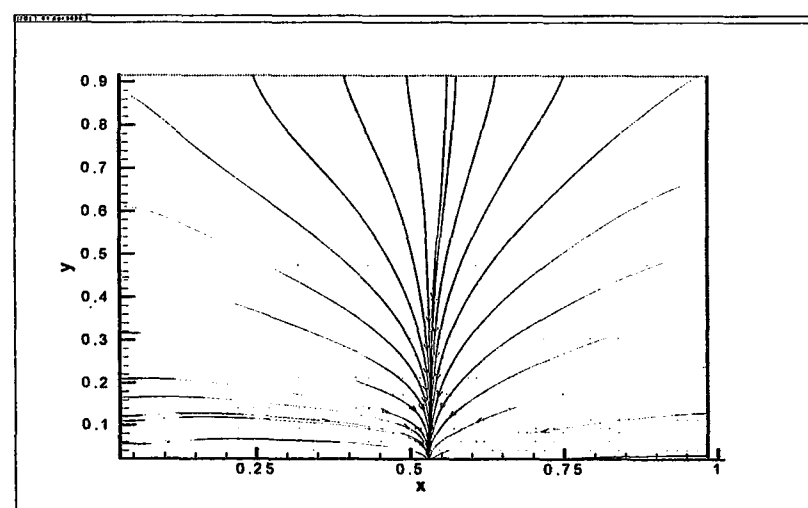
(b)  $z/6a=0.194$



(c)  $z/6a=0.219$

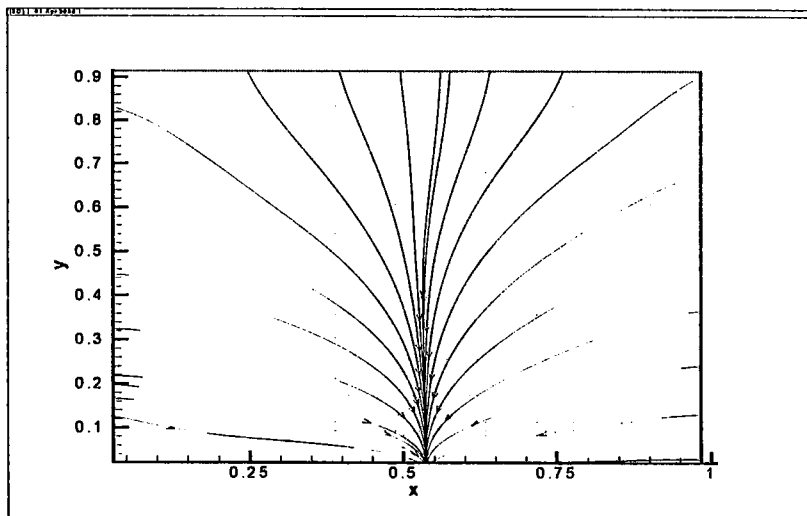


(d)  $z/6a=0.324$

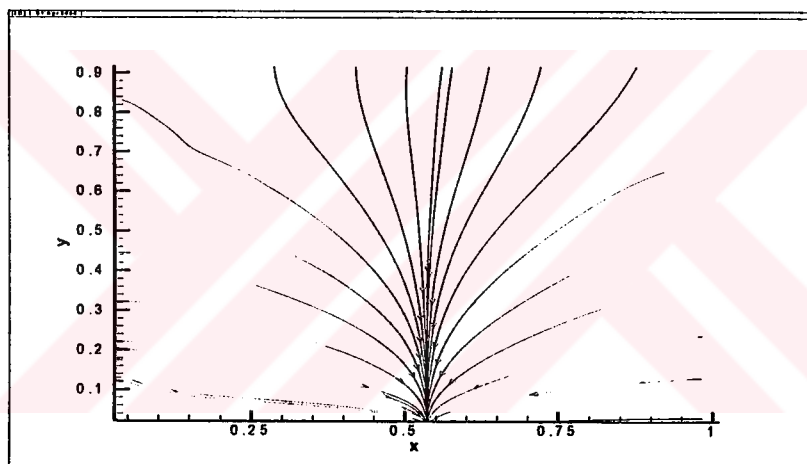


Şekil 4.5 Devam

(e)  $z/6a=0.582$



(f)  $z/6a=0.849$



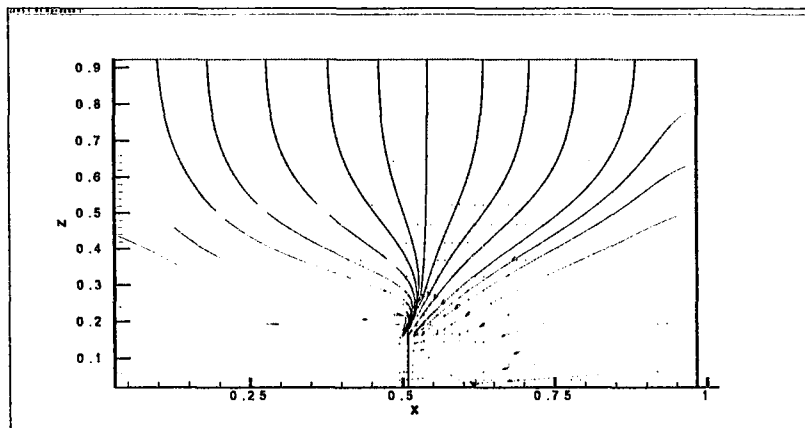
Şekil 4.5 Devam

Şekil 4.5d'de kanalın etkisi kaybolmuş ve bu bölgede akış düzensizliği görülmemekte ayrıca odaklanmanın oluşturduğu bölgedeki dalgalanma kaybolmaktadır. Hesaplama alanının sınırlarına yakın olan şekil 4.5e'de odaklanma azalmış, 4.5f'de ise bu azalmanın yanında akış çizgilerinde de bir düzensizlik gözlenmektedir.

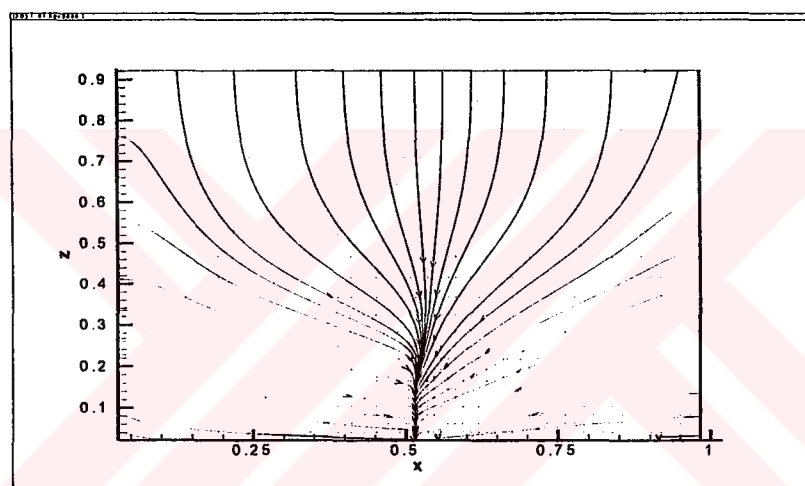
#### b) x-z Düzleminde Akım Çizgileri

Şekil 4.7a-4.7e x-z düzlemindeki akım çizgilerini göstermektedir. Şekil 4.7a'da x-y düzleminde olduğu gibi egzos ağızına doğru akım çizgileri yönlenmekte, bu yönlenme ağızin üst sınırı olan  $y/6a=0.113$  eksenine kadar aynı şekilde devam etmektedir.

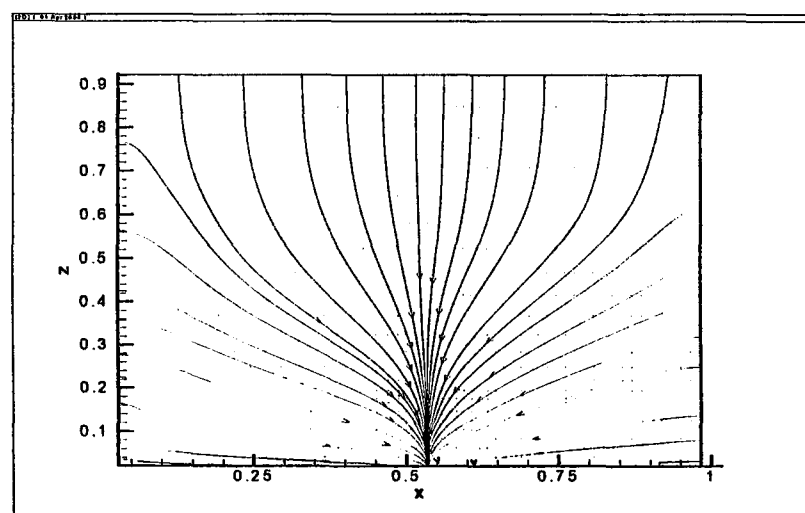
(a)  $y/6a=0.0208$



(b)  $y/6a=0.14$

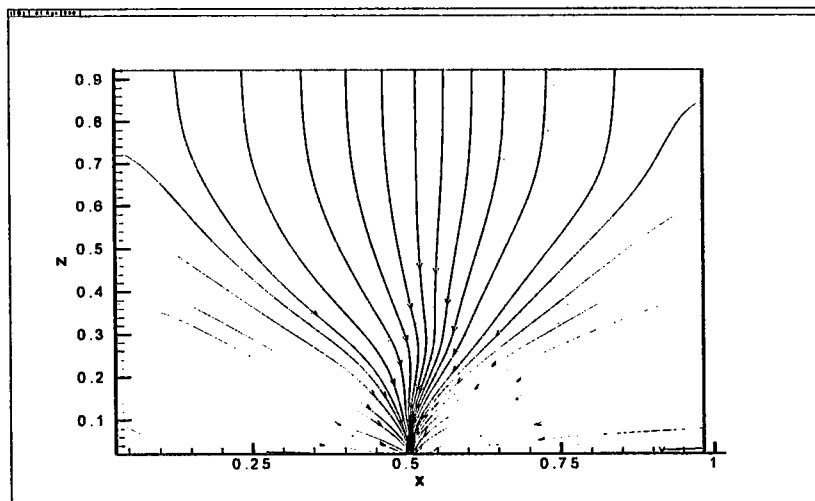


(c)  $y/6a=0.415$

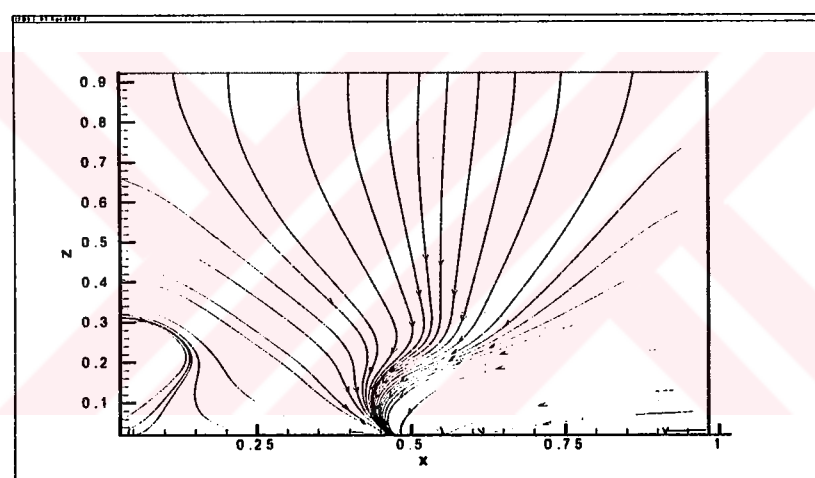


Şekil 4.6 Değişik x-z düzlemlerinde akım çizgileri

(d)  $y/6a=0.755$



(e)  $y/6a=0.915$



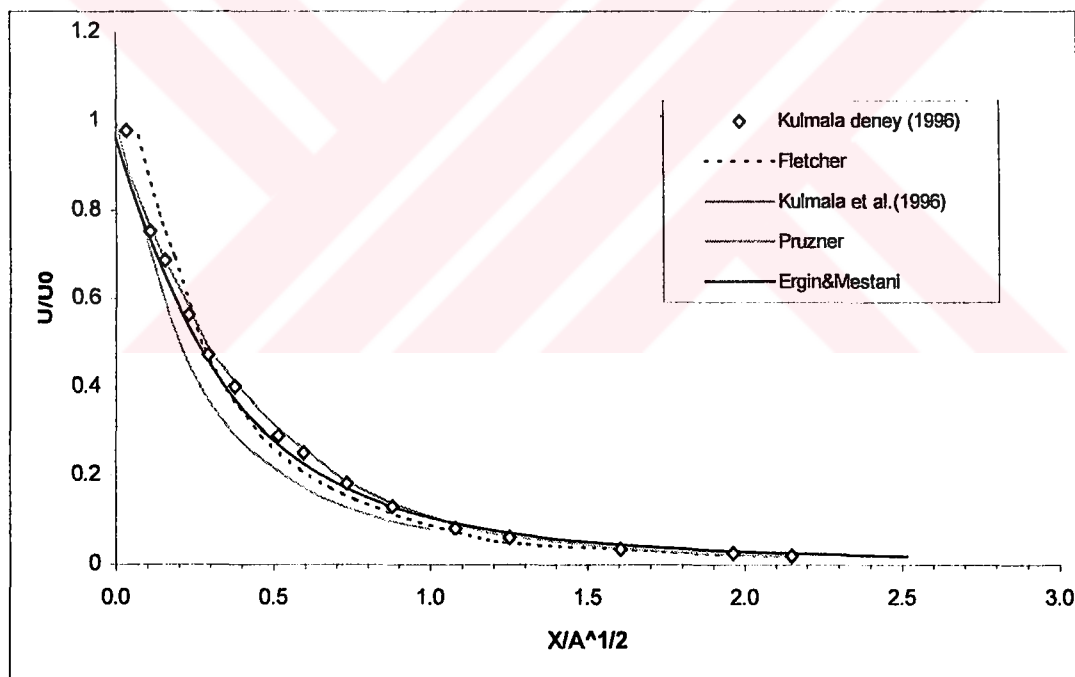
Şekil 4.6 Devam

Egzos ağızının üst kısmı olan şekil 4.6b'de akım çizgileri egzos ağızına doğru yönlenmekte (aşağı doğru), ancak odaklanma notasında dalgalanma göze çarpmaktadır. Şekil 4.6c'de bu odaklanma düzelterek ve elips şeklini almaktadır. Şekil 4.6d'de ise odaklanma bozulmuş ve akım çizgileri dağınık bir görünüm arzetmektedir. Şekil 4.7e'de belirli bir odaklanmadan bahsetmek pek mümkün değildir. Hareketlerde düzensizlikler görülmektedir.

#### 4.5 Karşılaştırmalar

Şekil 4.5'te,  $y$  ekseni, sayısal çalışma sonucunda elde edilen hız değerlerinin, egzos çıkışındaki hız değeri olan  $8.5 \text{ m/sn}$  değeri ile boyutsuzlaştırılması sonucu elde edilmiştir ( $U/U_0$ ).  $x$  ekseni ise egzos ağızı girişinden uzaklaşıldıkça değişen  $x$

mesafesinin egzos ağızı alanının karekökü ile boyutsuzlaştırılmış değeridir ( $x/A^{1/2}$ ). Şekil 4.5'ten de görüldüğü gibi hız değerleri egzos ağızından uzaklaşıkça azalmakta ( $x/A^{1/2}=0-0.9$  arası),  $x/A^{1/2}$ 'nın 1'den büyük olan değerlerinden itibaren büyük değişiklikler göstermemektedir. Karşılaştırmalar Kulmala'nın orta eksen hızları için deneysel ve sayısal çalışması, Pruzner ve Fletcher'in orta eksen hızları için sayısal çalışmalarını içermektedir. Kulmala'nın deneySEL olarak yaptığı çalışma ile karşılaştırıldığında yapılan sayısal çalışmanın Fletcher ve Pruzner'in yapmış olduğu sayısal çalışmalara göre daha yakın sonuçlar verdiği görülmektedir. Yapılan sayısal çalışma ile deneySEL çalışma arasında oluşan en büyük fark egzos ağızının girişinde yaklaşık %7 ve  $x/A^{1/2}=0.6$  noktasında ise %2 civarındadır. Pruzner'in sayısal çalışması  $x/A^{1/2}=0-0.15$  ile  $x/A^{1/2}=0.7-1$  arasında arasında yaklaşık değerler vermekte bunun dışındaki aralıklardaki değerler farklılıklar göstermektedir. Yapılan nümerik çalışmanın deneySEL sonuçlarla birbirine oldukça yakın çıkması sonucunda kullanılan matematik modelin bu tipte yapılacak akış problemlerinden çözümünde kullanılabileceği görülmektedir.



Şekil 4.7 Orta Eksen İçin Hız Alanlarının Karşılaştırılması

#### 4.6 Tartışma ve Gelecek Çalışmalar İçin Öneriler

Dikdörtgen ve flanssız egzos ağızı çevresinde hesaplanan hızlar yüksek değerlere, her iki düzlemdede (x-y, x-z) de egzos ağızının emiş yüzünde ulaşmakta, egzos ağızından yanlara ve kenarlara doğru gidildikçe azalmaktadır.

Aynı düzlemlerde boyutsuz türbülans alanları oldukça düşük değerlerde olmakla beraber bunlar da egzos ağızının civarında nispeten yüksek, egzos ağızından kenarlara ve yanlara gidildikçe azalmaktadır. Ancak bu azalma, farklı x-y düzlemlerinde ağız boyuca olurken x-z düzlemlerinde en çok ağızın ortasında ve kenarlarında yığıldığı görülmektedir.

Akim çizgileri değişik x-z ve x-y düzlemlerinde egzos ağızı boyunca büyük farklılıklar göstermemekte, x-y düzleminde ağızın bitiminden hemen sonra egzos kanalının etkisi bir süre görülmekte daha sonra bu da kaybolmaktadır. y düzleminde akımın odaklanması ise belirli bir y kesitinden sonra bozulmaktadır.

Sonuçlar mevcut deneysel çalışmalarla karşılaştırılmış ve elde sonuçların birbirleriyle uyum içinde oldukları görülmüştür. En büyük farkın  $x/A^{1/2}=0.03$  olduğu noktada %7 civarında olduğu görülmektedir. Buradan, kurduğumuz matematik modelin doğru olduğu ve bu tipteki bir akış probleminde kullanılabileceği sonucu çıkmaktadır.

Yapılan nümerik çalışma, durgun ortamdan sıkıştırılamaz akışkanı emen dikdörtgen kesitli ve flansız bir ağızdır. Akışın üç boyutlu ve türbülanslı olduğu göz önüne alınmıştır. Bununla birlikte kullanılan ağızda oluşabilecek basınç kayıpları, pek çok kullanım mahallerinde olduğu gibi ağızın önünde herhangi bir engel bulunması durumunda oluşacak hız ve türbülans alanları hesaplanabilir. Bu hesaplamaların farklı geometrilere sahip egzos ağızlarıyla denenerek yeterliliklerinin irdelenmesi de ayrıca bu tipte çalışma yapacak araştırmacılara tavsiye edilir.

## KAYNAKLAR

- Alden, J.L. and Kane, J.M.**, 1970. Design of Industrial Exhaust Systems, 4<sup>th</sup> edition, Industrial Press.
- Anastas, M.Y. and Hughes, R.T.**, 1989. Finite Difference Methods for Computation of Flow into Local Exhaust Hoods, *American Industrial Hygiene Association Journal*, **50**, 526-534.
- Bellia; L., Betta, V. and Cascetta, F.**, 1998. Description of Velocity Fields in Front of Exhaust Axisymmetriv Inlets by Means of New Empirical Equations, *Building and Environment*, **33**, 189-195.
- Braconnier, R.**, 1988. Bibliographic Review of Velocity Fields in the Vicinity of Local Exhaust Hood Openings, *American Industrial Hygiene Association Journal*, **49**, 185-198.
- Cascetta, F.**, 1996. Experimental evaluation of the velocity fields for local exhaust hoods with circular and rectangular openings, *Building and Environment* **31**, 437-449.
- Cascetta, F. and Bellia, L.**, 1996. Velocity Fields in Proximity of Local Exhaust Hood Openings: An Intercomparison Between Current Recommended Formulas and Experimental Studies, *Building and Environment*, **31**, 451-459.
- Conroy, L.M., Ellenbecker, M.J. and Flynn, M.R.**, 1988. Prediction and Measurement of Velocity into Flanged Slot Hoods, *American Industrial Hygiene Association Journal*, **49**, 226-234.
- Flynn, M.R. and Ellenbecker, M.J.**, 1985. The Potential Flow Solution for Air Flow into a Flanged Circular Hood, *American Industrial Hygiene Association Journal*, **46**, 318-322.
- Flynn, M.R. and Miller, C.T.**, 1988. Comparison of Models for Flow Through Flanged and Plain Circular Hoods, *Annals of Occupational Hygiene*, **32**, 373-384.

- Flynn, M.R. and Miller, C.T.**, 1989. The Boundary Integral Method (BIEM) for Modeling Local Exhaust Hood Flow Fields, *American Industrial Hygiene Association Journal*, **50**, 281-288.
- Garrison, R.P.**, 1983, Velocity Calculation for Local Exhaust Inlets- Empirical Design Equations, *American Industrial Hygiene Association Journal*, **44**, 937-940.
- Garrison, R.P. and Wang, Y.**, 1987. Finite Element Application for Velocity Characteristics of Local Exhaust Inlets, *American Industrial Hygiene Association Journal*, **48**, 983-988.
- Garrison, R.P. and Park, C.**, 1989. Evaluation of Models for Local Exhaust Velocity Characteristics-Part One: Velocity Contours for Freestanding and Bounded Inlets, *American Industrial Hygiene Association Journal*, **50**, 196-203.
- Gatski, T.B., Hussaini, M.Y. and Lumley, J.L.**, 1996. Simulation and Modeling of Turbulent Flows, pp. 109-141, Oxford University Press, New York
- Geisberger, P.E. and Sibbitt, B.E.**, 1990. Development of Loss Coefficient Data for Compound Exhaust Hoods Using Slots for Air Distribution, *American Society of Heating, Refrigerating, and Air Conditioning Engineers*, **96(2)**, 763-770.
- Hayashi, T., Howell, R.H., Shibata, M. and Tsuji, K.**, 1987. Industrial Ventilation and Air Conditioning, 2<sup>nd</sup> edition, CRC Press.
- Kulmala, I.**, 1993. Numerical Calculation of Air Flow Fields Generated by Exhaust Openings, *Annals of Occupational Hygiene*, **37**, 451-467.
- Kulmala, I. and Saarenrinne, P.**, 1996. Air Flow Near An Unflanged Rectangular Exhaust Opening, *Energy and Building*, **24**, 133-136.
- Landahl, M.T. and Mollo-Christensen, E.**, 1992. Turbulence and Random Processes in Fluid Mechanics, 2<sup>nd</sup> edition, Cambridge University Press.
- Mc Dermott, H.J.**, 1985. Handbook of Ventilation for Contaminant Control, 2<sup>nd</sup> edition, Butterworth Press.
- Ozkan-Ergin, S.** 1993. Measurements and Numerical Modelling of Natural Convection in a Stairwell Model, *PhD Thesis*, Brunel University, England

**Patankar, S.V., 1980. Numerical Heat Transfer and Fluid Flow, McGraw-Hill Book Company.**



## **ÖZGEÇMİŞ**

6 Aralık 1967 tarihinde İstanbul'da doğdu. Lise öğrenimini 1983-1986 yılları arasında Pertevniyal Lisesi'nde tamamladı. 1988-1990 yılları arasında İngiltere'de dil eğitimi aldı. 1990-1991 yılları arasında askerlik görevini tamamlayarak 1992 yılında İ.T.Ü. Gemi İnşaatı ve Deniz Bilimleri Fakültesi, Deniz Bilimleri Bölümü'nde lisans öğrenimine başladı. 1993 yılının kiş Döneminde aynı fakültenin Gemi İnşaatı bölümune yatay geçiş yapıp yüksek öğreniminin geriye kalan kısmını bu bölümde tamamlayarak 1996 yılında mezun oldu. 1998 yılında Araştırma Görevlisi olarak görevi başladığı Gemi İnşaatı ve Deniz Bilimleri Fakültesi'nde halen yüksek lisans eğitimi ile birlikte akademik görevini sürdürmektedir.